

**OPTIMASI PARAMETER PADA SUPPORT VECTOR MACHINE  
DENGAN MENGGUNAKAN ALGORITMA GENETIKA**



**TESIS**

Diajukan sebagai salah satu syarat untuk memperoleh gelar Magister  
Ilmu Komputer (M.Kom)

**TRI SANTOSO**

**14001107**

PROGRAM PASCASARJANA MAGISTER ILMU KOMPUTER  
SEKOLAH TINGGI MANAJEMEN INFORMATIKA DAN KOMPUTER  
NUSA MANDIRI  
JAKARTA  
2015

## SURAT PERNYATAAN ORISINALITAS

Yang bertanda tangan di bawah ini

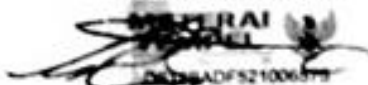
|               |                                      |
|---------------|--------------------------------------|
| Nama          | Tri Santoso                          |
| NIM           | 14001107                             |
| Program Studi | Magister Ilmu Komputer               |
| Jenjang       | Strata Dua (S2)                      |
| Konsentrasi   | <i>Management Information System</i> |

Dengan ini menyatakan bahwa tesis yang telah saya buat dengan judul **"Optimasi Parameter Pada Support Vector Machine Dengan Menggunakan Algoritma Genetika"** adalah hasil karya sendiri, dan semua sumber baik yang kutip maupun yang dirujuk telah saya nyatakan dengan benar dan tesis belum pernah diterbitkan atau dipublikasikan dimanapun dan dalam bentuk apapun.

Demikianlah surat pernyataan ini saya buat dengan sebenar-benarnya. Apabila dikemudian hari ternyata saya memberikan keterangan palsu dan atau ada pihak lain yang mengklaim bahwa tesis yang telah saya buat adalah hasil karya milik seseorang atau badan tertentu, saya bersedia diproses baik secara pidana maupun perdata dan kelulusan saya dari Program Pascasarjana Magister Ilmu Komputer Sekolah Tinggi Manajemen Inbentukika dan Komputer Nusa Mandiri dicabut dibatalkan.

Jakarta, 07 Desember 2015

Yang menyatakan,



DAFTAR ADF521006379  
6000 

Tri Santoso

## HALAMAN PENGESAHAN

Tesis ini diajukan oleh :

Nama : Tri Santoso  
NIM : 14001107  
Program Studi : Magister Ilmu Komputer  
Jenjang : Strata Dua (S2)  
Konsentrasi : Management Information System  
Judul Tesis : "Optimasi Parameter Pada Support Vector Machine Dengan Menggunakan Algoritma Genetika"

Telah berhasil dipertahankan dihadapan Dewan Penguji dan diterima sebagai bagian persyaratan yang diperlukan untuk memperoleh gelar Magister Ilmu Komputer (M.Kom) pada Program Pascasarjana Magister Ilmu Komputer Sekolah Tinggi Manajemen Informatika dan Komputer Nusa Mandiri (STMIK Nusa Mandiri).

Jakarta, 07 Desember 2015  
Pascasarjana Magister Ilmu Komputer  
STMIK Nusa Mandiri  
Direktur

Prof. Dr. Ir. R. Eko Indrajit, MSC, MBA

### DEWAN PENGUJI

Penguji I : Dr. Sfenrianto, M.Kom

Penguji II : Drs. Bambang Setyarsa, MA

Penguji III / Pembimbing : Dr. Mochamad Wahyudi, MM, M.Kom, M.Pd



## LEMBAR KONSULTASI BIMBINGAN TESIS

SEKOLAH TINGGI MANAJEMEN INFORMATIKA & KOMPUTER  
NUSA MANDIRI

- NIM : 14001171  
• Nama Lengkap : Tri Santoso  
• Dosen Pembimbing : Dr. Mochamad Wahyudi, MM, M.Kom, M.Pd  
• Judul Tesis : Optimasi Parameter pada Support Vector Machine dengan Menggunakan Algoritma Genetika



| No | Tanggal Bimbingan | Pokok Bahasan                          | Paraf Dosen Pembimbing |
|----|-------------------|--|------------------------|
| 1  | 26 Okt '15        | Bimbingan perdana & Pengajuan Bab I    |                        |
| 2  | 02 Nop '15        | Pengajuan Bab II                       |                        |
| 3  | 06 Nop '15        | Pengajuan Bab III                      |                        |
| 4  | 13 Nop '15        | Pengajuan Bab IV                       |                        |
| 5  | 20 Nop '15        | Pengajuan Bab V                        |                        |
| 6  | 30 Nop '15        | Periksa keseluruhan & Acc Ujian Sidang |                        |

Catatan untuk dosen pembimbing

### Bimbingan Tesis

- Dimulai pada tanggal : 26 Oktober 2015
- Diakhiri pada tanggal : 30 Nopember 2015
- Jumlah pertemuan bimbingan : 6 Kali Bimbingan

Disetujui Oleh,  
Dosen Pembimbing

Dr. Mochamad Wahyudi, MM, M.Kom, M.Pd

## KATA PENGANTAR

Alhamdulillahirobbil'alamin, penulis memanjatkan puji dan rasa terima kasih yang tak terhingga kepada Allah SWT atas limpahan rahmat dan kasih sayang-Nya, sehingga tesis berjudul "Optimasi Parameter Pada *Support Vector Machine* Dengan Menggunakan Algoritma Genetika" dapat diselesaikan dengan penuh hikmah. Tesis ini disusun sebagai bentuk laporan penelitian untuk memenuhi syarat kelulusan pada program Pasca Sarjana STMIK Nusa Mandiri.

Penulis menyadari bahwa penyelesaian tesis ini tidak lepas dari bantuan dan dukungan berbagai pihak. Oleh karena itu, pada kesempatan ini, penulis ingin menyampaikan rasa terima kasih yang sebesar-besarnya kepada:

1. Orang tua, keluarga dan sahabat yang mendukung penyelesaian tesis ini.
2. Bapak Dr. Mochamad Wahyudi, MM, M.Kom, M.Pd selaku dosen pembimbing yang telah memberikan arahan, bimbingan, dan masukan yang sangat berharga selama proses penyusunan tesis.
3. Semua pihak yang telah turut membantu dan memberikan dukungan, baik secara langsung maupun tidak langsung, dalam menyelesaikan tesis ini.

Semoga tesis ini dapat bermanfaat bagi pengembangan ilmu pengetahuan dan memberikan kontribusi yang positif bagi masyarakat.

Jakarta, 7 Desember 2015



Tri Santoso  
Penulis

## ABSTRAK

Nama : Tri Santoso  
NIM : 14001107  
Program Studi : Magsiter Ilmu Komputer  
Jenjang : Strata Dua (S2)  
Konsentrasi : *Management Information System*  
Judul : “Optimasi Parameter Pada *Support Vector Machine* Dengan Menggunakan Algoritma Genetika”

*Support Vector Machine* atau yang biasa disingkat dengan SVM merupakan metode yang digunakan untuk klasifikasi dan regresi. Metode ini banyak digunakan di berbagai bidang. Namun metode SVM memiliki kelemahan dalam menentukan parameter yang akan digunakan untuk memproses data. Di dalam penelitian ini kami menggunakan metode dengan menggunakan Algoritma Genetika (GA) yang berbasis *Support Vektor Machine* (SVM) dengan menggunakan parameter optimasi. Metode ini memanfaatkan GA untuk mengoptimalkan metode seleksi parameter SVM sesuai dengan data pelatihan dan meningkatkan ketepatan SVM. Hasil penelitian akan kami gunakan untuk dibandingkan dengan metode yang hanya menggunakan SVM saja. Data yang kami gunakan untuk penelitian ini, kami ambil dari UCI. Hasil penelitian yang diperoleh menunjukkan bahwa metode yang kami gunakan memberikan akurasi prediksi yang lebih baik dalam mengidentifikasi data yang kami gunakan dibandingkan dengan metode yang hanya menggunakan SVM saja. Hal ini terbukti saat kami membandingkan hasil perhitungan yang kami lakukan. Nilai *accuracy* ILPD (*Indian Liver Patient Dataset*) yang kami ambil dari UCI masing-masing adalah 71,36%, nilai tersebut adalah hasil dari perhitungan dengan menggunakan SVM. Sedangkan saat kami menggunakan GA-SVM, nilai Iris, Ecoli dan WDBC meningkat menjadi 72,22%. Hal yang sama terjadi pada hampir semua nilai yang dihasilkan. Hal ini membuktikan bahwa GA-SVM memiliki kinerja yang lebih baik daripada SVM.

Kata Kunci : Algoritma Genetika, *Support Vector Machine*, Optimasi

## ***ABSTRACT***

Nama : Tri Santoso  
NIM : 14001107  
Program Studi : Magsiter Ilmu Komputer  
Jenjang : Strata Dua (S2)  
Konsentrasi : *Management Information System*  
Judul : “Optimasi Parameter Pada Support Vector Machine Dengan Menggunakan Algoritma Genetika”

*Support Vector Machine or commonly abbreviated as SVM is a method used for classification and regression. This method is widely used in various fields. However, the SVM method has weaknesses in determining the parameters that will be used to process data. In this research we use a method using a Genetic Algorithm (GA) based on a Support Vector Machine (SVM) using optimization parameters. This method utilizes GA to optimize the SVM parameter selection method according to the training data and improves the accuracy of the SVM. We will use the research results to compare with methods that only use SVM. The data we use for this research, we took from UCI. The research results obtained show that the method we use provides better prediction accuracy in identifying the data we use compared to methods that only use SVM. This was proven when we compared the results of the calculations we carried out. The ILPD (Indian Liver Patient Dataset) accuracy value that we took from the UCI is 71.36%, this value is the result of calculations using SVM. Meanwhile, when we use GA-SVM, the Iris, Ecoli and WDBC values increase to 72.22%. The same thing happens to almost all the value produced. This proves that GA-SVM has better performance than SVM.*

*Keywords:* *Genetic Algorithm, Support Vector Machine, Optimization*

## DAFTAR ISI

|   |      |
|---|------|
| LEMBAR JUDUL.....   | i    |
| SURAT PERNYATAAN ORISINALITAS .....   | ii   |
| HALAMAN PENGESAHAN .....  | iii  |
| LEMBAR BIMBINGAN .....  | iv   |
| KATA PENGANTAR.....   | v    |
| ABSTRAK.....  | vi   |
| <i>ABSTRACT.....</i>  | vii  |
| DAFTAR ISI.....   | viii |
| DAFTAR TABEL .....  | ix   |
| DAFTAR GAMBAR .....   | x    |
| DAFTAR LAMPIRAN .....   | xi   |
| BAB 1 PENDAHULUAN.....  | 1    |
| 1.1 Latar Belakang Penulisan .....  | 1    |
| 1.2 Identifikasi Masalah .....  | 3    |
| 1.3 Tujuan Penelitian .....   | 3    |
| 1.4 Ruang Lingkup Penelitian .....  | 3    |
| 1.5 Hipotesis .....   | 4    |
| BAB 2 LANDASAN TEORI.....   | 5    |
| 2.1 Tinjauan Pustaka.....   | 5    |
| 2.1.1 Penelitian dari Ilhan dan Tezel (2013) .....                            | 5    |
| 2.1.2 Penelitian dari Sajan et al (2015) .....                                | 6    |
| 2.1.3 Penelitian dari Guo et al (2012) .....                                  | 9    |
| 2.1.4 Penelitian dari Zhao et al (2011).....                                  | 10   |
| 2.1.5 Penelitian dari Patil et al (2012).....                                 | 11   |
| 2.2 Tinjauan Studi.....   | 13   |
| 2.2.1 <i>Data Mining</i> .....  | 13   |
| 2.2.2 <i>Support Vector Machine</i> .....                                     | 13   |
| 2.2.3 Algoritma Genetika .....  | 16   |
| BAB 3 METODE PENELITIAN.....  | 19   |
| 3.1 Perancangan Penelitian.....   | 19   |
| 3.2 Pengumpulan Data .....  | 20   |
| 3.3 Pengolahan Awal Data .....  | 21   |
| 3.4 Metode Yang Diusulkan.....  | 21   |
| 3.5 Eksperimen Dan Pengujian Metode.....                                      | 25   |
| 3.6 Evaluasi Dan Validasi .....   | 25   |
| BAB 4 HASIL DAN PEMBAHASAN .....  | 27   |
| 4.1 Tahapan Pengujian .....   | 27   |
| 4.2 Hasil Eksperimen dan Pengujian Metode.....                                | 28   |
| 4.2.1 Metode <i>Support Vector Machine</i> .....                              | 28   |
| 4.2.2 Metode <i>Support Vector Machine</i> dengan Optimasi Algoritma Genetika | 30   |
| BAB 5 PENUTUP.....  | 33   |
| 5.1 Kesimpulan .....  | 33   |
| 5.2 Saran.....  | 33   |
| DAFTAR PUSTAKA.....   | 34   |
| LAMPIRAN.....   | 37   |

## **DAFTAR TABEL**

|   |    |
|---|----|
| Tabel 3.1 ILPD ( <i>Indian Liver Patient Dataset</i> ) .....      | 20 |
| Tabel 4.1 Tabel perbandingan tingkat akurasi SVM dan SVM-GA ..... | 31 |

## **DAFTAR GAMBAR**

|  |    |
|--|----|
| Gambar 2.1 Metode yang Diusulkan oleh Ilhan dan Tezel (2013) .....   | 6  |
| Gambar 2.2 Metode yang Diusulkan oleh Sajan et al (2015) .....       | 8  |
| Gambar 2.3 Metode yang Diusulkan oleh Guo et al (2012).....          | 9  |
| Gambar 2.4 Metode yang Diusulkan oleh Zhao et al (2011) .....        | 11 |
| Gambar 2.5 Metode yang Diusulkan oleh Patil et al (2012) .....       | 12 |
| Gambar 2.6 Pemisahan dua kelas dengan margin maksimum pada SVM ..... | 14 |
| Gambar 2.7 Alur proses Algoritma Genetika .....                      | 17 |
| Gambar 3.1 <i>Flowchart</i> SVM .....                                | 22 |
| Gambar 3.2 <i>Flowchart</i> GA-SVM .....                             | 22 |
| Gambar 4.1 Pengujian metode SVM.....                                 | 29 |
| Gambar 4.2 Tingkat akurasi metode SVM.....                           | 29 |
| Gambar 4.3 Pengujian metode SVM-GA.....                              | 30 |
| Gambar 4.4 Tingkat akurasi metode SVM-GA .....                       | 31 |
| Gambar 4.5 Diagram tingkat akurasi SVM dan SVM-GA .....              | 32 |

## **DAFTAR LAMPIRAN**

Lampiran 1 Dataset ILPD (*Indian Liver Patient Dataset*) .....37

# **BAB 1**

## **PENDAHULUAN**

### **1.1 Latar Belakang Penulisan**

Sekarang ini, pesatnya perkembangan teknologi terus meningkat di segala bidang [1]. Salah satu yang memegang peranan penting dalam perkembangan teknologi tersebut adalah *data mining* [2]. Dengan *data mining*, kita bisa mengelola data dan membuat informasi dari data dalam jumlah yang besar [3], [4]. Data besar ini juga bisa disebut dengan *big data* karena ukurannya yang besar, kompleks dan berkembang dengan berbagai sumber yang otonom [5]. Data yang besar tersebut biasanya berasal dari basis data yang digunakan dalam sistem komputer [6]. Didalam data mining, kita bisa mempelajari *artificial intelligence* dan *knowledge engineering* yang berakar dari *machine learning* dan *statistics* [7]. Maka dari itu, data mining sangat bermanfaat dan mendorong terciptanya teknologi baru.

Salah satu metode yang ada di data mining adalah SVM. SVM merupakan metode klasifikasi dan regresi yang banyak di gunakan di berbagai bidang [8]. SVM juga dikenal sebagai pengklasifikasi cerdas dengan kemampuan generalisasi yang kuat [9]. Sebagai contoh, SVM bisa kita gunakan untuk mengidentifikasi apakah opini yang diungkapkan dalam suatu dokumen positif atau negatif tentang suatu topik tertentu [10]. SVM juga bisa kita gunakan untuk mengenali tingkah laku manusia untuk tujuan tertentu [11].

SVM dapat menangani kumpulan data berdimensi tinggi, heterogen, dan jarang diberi label dengan sangat efisien, dan juga dapat berhasil disesuaikan dengan aplikasi

tertentu [12]. Keakuratan SVM dipengaruhi oleh jumlah fitur dan jumlah data yang ada [13].

Secara singkat, konsep yang dilakukan SVM dalam klasifikasi masalah yaitu SVM melatih pengklasifikasi dengan memecahkan masalah optimasi untuk memutuskan contoh mana dari kumpulan data pelatihan yang merupakan vektor pendukung, yang merupakan contoh yang sangat informatif untuk membentuk pengklasifikasi SVM [14].

Meskipun secara teori SVM telah banyak digunakan di berbagai bidang, namun dalam penerapannya belum bisa mencapai hasil yang diharapkan dari teori tersebut. Hal ini dikarenakan SVM standar masih memiliki beberapa keterbatasan dan kinerjanya bergantung pada pemilihan parameternya [15]. Pemilihan fungsi dan parameter kernel merupakan salah satu faktor utama yang mempengaruhi hasil SVM. Normalnya parameter pada model SVM dapat dipilih secara manual berdasarkan pengalaman, sehingga kurangnya panduan teori yang matang [16]. SVM juga lemah jika mengklasifikasikan kumpulan data berdimensi tinggi dengan sejumlah ukuran fitur yang besar [17].

Sementara itu, terdapat metode Algoritma Genetika (GA) yang merupakan salah satu metode pencarian. Metode ini mencari hasil yang sama atau mendekati jawaban dari masalah yang diberikan [18]. Algoritma Genetika (GA) bisa menjadi solusi untuk memecahkan masalah optimasi dalam sistem kendali suatu proses [19]. Algoritma Genetika (GA) beroperasi pada populasi solusi, bukan pada solusi tunggal. Pencarian genetik dimulai dengan inisialisasi populasi individu. Solusi individual dipilih dari populasi, kemudian dikawinkan untuk membentuk solusi baru [20].

Dari penjabaran diatas, dalam penelitian ini kami mengusulkan Algoritma Genetika (GA), dimana GA akan kami gunakan untuk mengoptimasi parameter pada

SVM sehingga kinerja SVM akan lebih meningkat. Metode yang kami usulkan ini selanjutnya akan disebut GA-SVM.

## **1.2 Identifikasi Masalah**

Berdasarkan uraian latar belakang di atas, identifikasi penelitian ini yaitu bahwa SVM merupakan metode klasifikasi dan regresi yang banyak digunakan di berbagai bidang. Namun dalam penerapannya belum bisa mencapai hasil yang diharapkan, dikarenakan SVM standar masih memiliki beberapa keterbatasan dan kinerjanya bergantung pada pemilihan parameternya. Hal ini akan mempengaruhi keakurasiannya dari hasil SVM

## **1.3 Tujuan Penelitian**

Tujuan dari penelitian ini adalah untuk mendapatkan tingkat keakurasiannya yang lebih baik dari SVM standar. Untuk detail dari tujuan penelitian ini adalah:

1. Menerapkan Algoritma Genetika untuk membantu menentukan parameter yang tepat dalam SVM.
2. Membandingkan hasil GA-SVM dengan SVM standar untuk melihat keakurasiannya yang lebih baik.
3. Melakukan pengujian kembali dengan data set yang berbeda untuk memastikan hasil perbandingan yang pertama.

## **1.4 Ruang Lingkup Penelitian**

Ruang lingkup penelitian ini terbatas pada penerapan Algoritma Genetika untuk membantu penentuan parameter pada SVM dan membandingkan hasil GA-SVM dengan SVM standar untuk memastikan mana yang lebih baik

## 1.5 Hipotesis

.Penelitian ini memiliki 2 hipotesis yaitu  $H_0$  dan  $H_1$ .  $H_0$  menandakan bahwa Algoritma Genetika tidak meningkatkan keakurasiannya dari hasil SVM. Sementara  $H_1$  menandakan bahwa Algoritma Genetika meningkatkan keakurasiannya dari hasil SVM.

## **BAB 2**

### **LANDASAN TEORI**

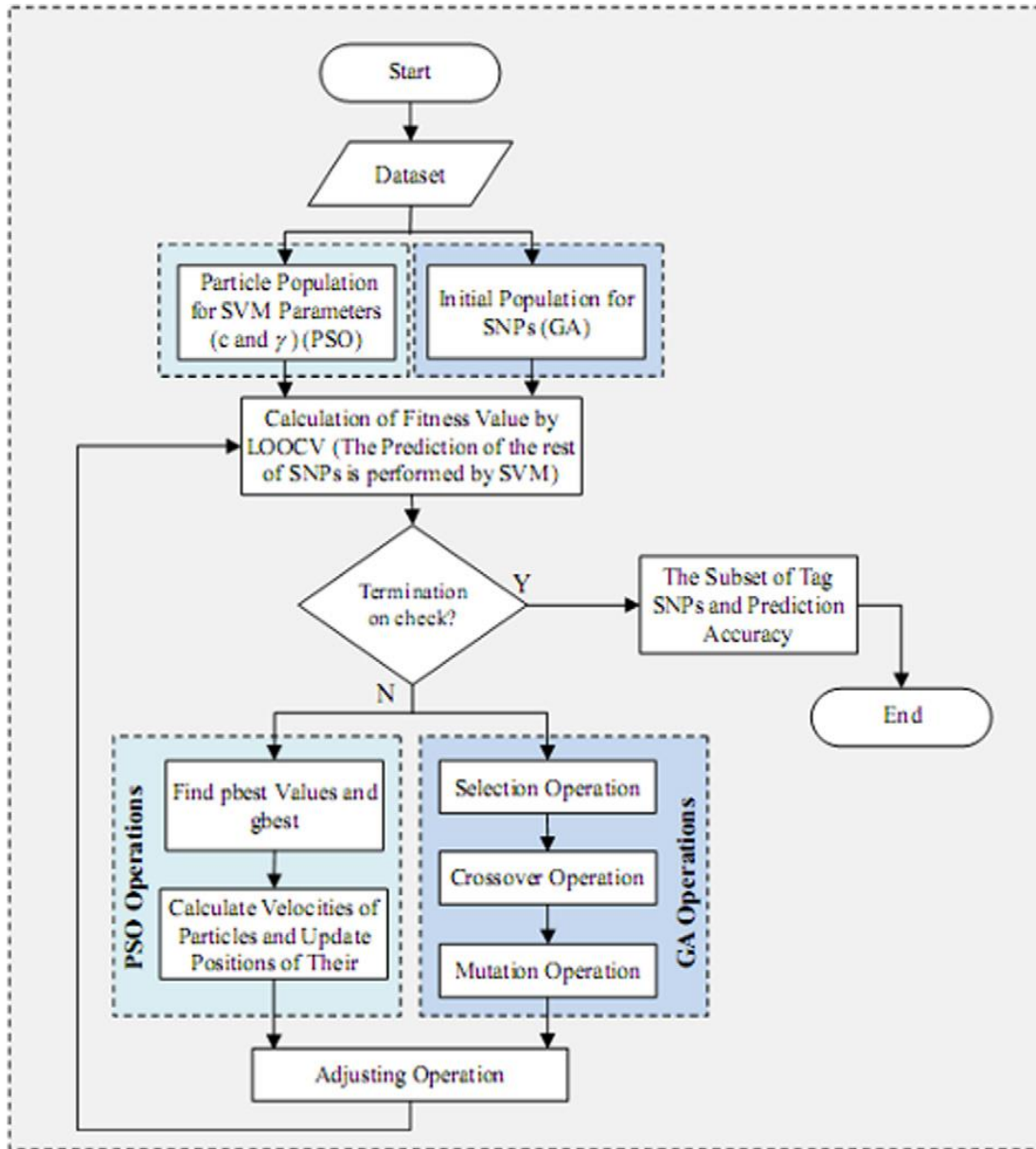
#### **2.1 Tinjauan Pustaka**

Beberapa penelitian yang menjadi tinjauan studi ini adalah:

##### **2.1.1 Penelitian dari Ilhan dan Tezel (2013)**

SNP (*Single Nucleotide Polimorfisme*) meliputi jutaan perubahan genom manusia, dan karena itu, adalah alat yang menjanjikan untuk studi hubungan penyakit-gen. Namun, jenis studi dibatasi oleh biaya tinggi dari genotip jutaan SNP. Untuk alasan ini, diperlukan untuk mendapatkan sub-set yang cocok dari SNP untuk secara akurat mewakili seluruh SNP. Untuk tujuan ini, banyak metode yang telah dikembangkan untuk memilih subset nyaman tag SNP, tapi semua dari mereka hanya menyediakan akurasi prediksi rendah. Dalam penelitian ini, metode baru dikembangkan dan diperkenalkan sebagai GA-SVM dengan optimasi parameter. Metode ini manfaat dari mesin dukungan vektor (SVM) dan algoritma genetika (GA) untuk memprediksi SNP dan untuk memilih SNP tag, masing-masing. Selain itu juga menggunakan partikel optimasi segerombolan (PSO) algoritma untuk mengoptimalkan C dan c parameter mesin dukungan vektor. Hal ini eksperimen diuji pada berbagai dataset, dan hasil yang diperoleh menunjukkan bahwa metode ini dapat memberikan akurasi prediksi yang lebih baik dalam mengidentifikasi SNP tag dibandingkan dengan metode lain saat ini [21].

Berikut merupakan metode yang diusulkan oleh Ilham dan Tezel:



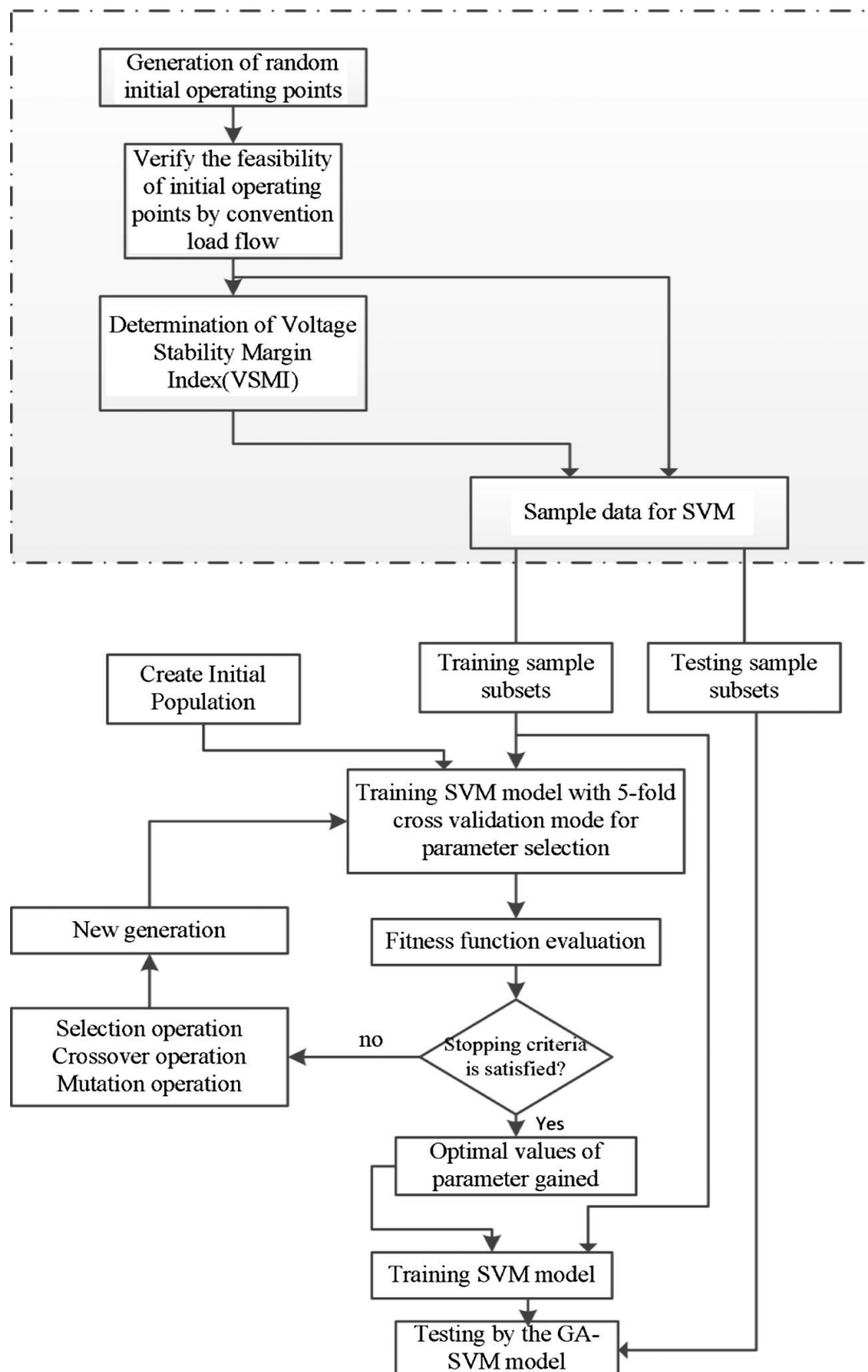
Gambar 2.1 Metode yang Diusulkan oleh Ilhan dan Tezel (2013)

### 2.1.2 Penelitian dari Sajan et al (2015)

Sebuah penelitian berdasarkan Algoritma Genetika Support Vector Machine (GA-SVM) pendekatan untuk pemantauan online ketidakstabilan tegangan jangka panjang telah diusulkan dalam makalah ini. Metode konvensional untuk tegangan stabilitas monitoring sangat memakan waktu maka tidak layak untuk aplikasi online. Mesin dukungan vektor adalah alat estimasi fungsi yang kuat dan menjanjikan. Untuk

meningkatkan akurasi dan meminimalkan waktu pelatihan SVM, nilainilai optimal dari parameter SVM yang diperoleh dengan menggunakan algoritma genetika. Pendekatan yang diusulkan menggunakan besaran tegangan dan sudut fase diperoleh dari fasor Pengukuran Unit (PMU) sebagai masukan vektor untuk SVM dan vektor output Tegangan Stabilitas Margin Index (VSMI). Efektivitas pendekatan yang diusulkan diuji menggunakan New England sistem uji 39-bus dan India Wilayah Utara Power Grid (NRPG) 246-bus sistem nyata. Hasil diusulkan pendekatan GA-SVM untuk pemantauan stabilitas tegangan dibandingkan dengan pencarian jaringan SVM (GS-SVM) dan jaringan syaraf tiruan (JST) pendekatan dengan data yang sama ditetapkan untuk membuktikan keunggulannya [22].

Berikut merupakan metode yang diusulkan oleh Sajan et al (2015):

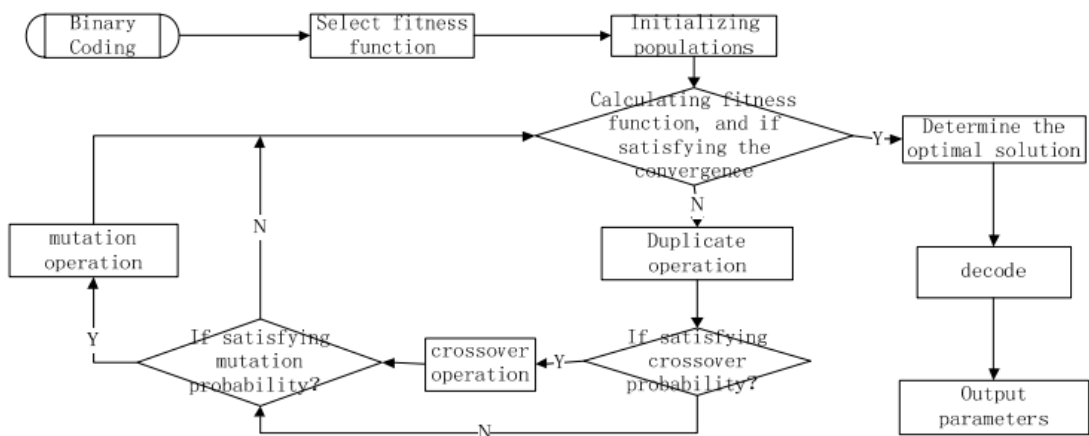


Gambar 2.2 Metode yang Diusulkan oleh Sajan et al (2015)

### 2.1.3 Penelitian dari Guo et al (2012)

Harga minyak perkiraan model perbaikan yang menggunakan mesin dukungan vektor (SVM) dikembangkan. Model baru, yang disebut model perkiraan GA-SVM, didasarkan pada algoritma genetika (GA) parameter optimasi. Dalam model SVM tradisional, faktor penalti C dan parameter fungsi kernel Vare umumnya tergantung pada pengalaman. Ini parameter empiris sulit untuk mencapai perubahan data ini harga. Oleh karena itu, kami menggunakan GA untuk mengoptimalkan metode seleksi parameter SVM sesuai dengan data pelatihan, dan peningkatan SVM perkiraan presisi. Untuk memverifikasi keabsahan model, kami memilih dan menganalisis data harga saham minyak Brent dari 2001/12/27 ke 2011/10/30. Data untuk 2009/07/30 ke 2011/07/22 ditetapkan sebagai kumpulan data pelatihan, dan orangorang untuk 2011/08/08 ke 2011/08/17 dipekerjakan untuk pengujian. Hasil penelitian menunjukkan bahwa efisiensi perkiraan GA-SVM lebih baik daripada SVM tradisional [23].

Berikut merupakan metode yang diusulkan oleh Guo et al (2012):

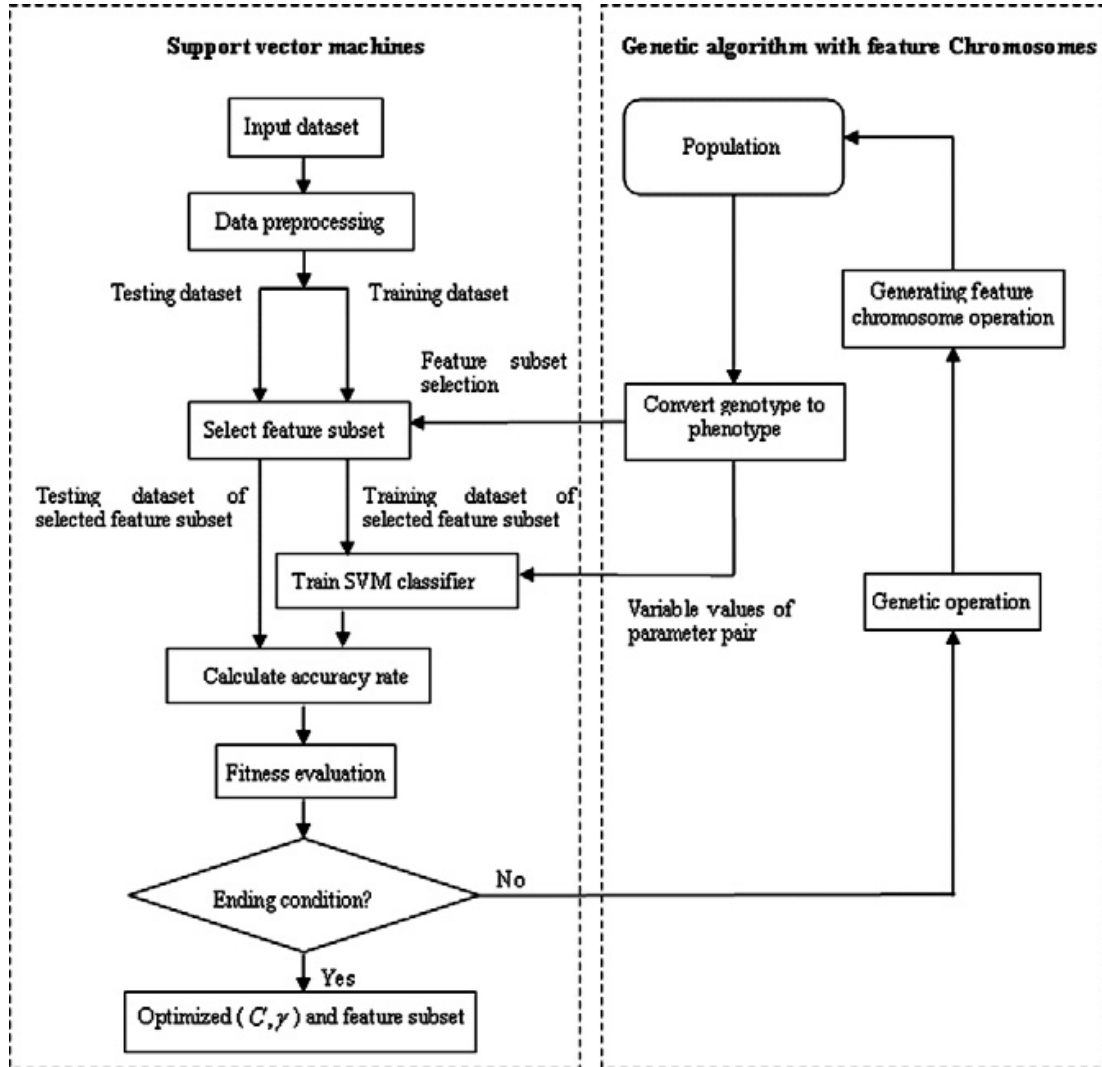


Gambar 2.3 Metode yang Diusulkan oleh Guo et al (2012)

#### 2.1.4 Penelitian dari Zhao et al (2011)

Mesin vektor dukungan (SVM) adalah teknik klasifikasi data baru dengan banyak aplikasi yang beragam. Pemilihan subset fitur, serta pengaturan parameter dalam prosedur pelatihan SVM mempengaruhi akurasi klasifikasi secara signifikan. Dalam makalah ini, perilaku asimtotik mesin vektor pendukung digabungkan dengan algoritma genetika (GA) dan kromosom fitur dihasilkan, yang dengan demikian mengarahkan pencarian algoritma genetika ke garis lurus kesalahan generalisasi optimal dalam ruang superparameter. Atas dasar ini, pendekatan baru berdasarkan algoritma genetika dengan fitur kromosom, disebut GA dengan fitur kromosom, diusulkan untuk secara bersamaan mengoptimalkan subset fitur dan parameter untuk SVM. Untuk mengevaluasi pendekatan yang diusulkan, eksperimen ini mengadopsi beberapa kumpulan data dunia nyata dari database UCI dan database Benchmark. Dibandingkan dengan GA tanpa kromosom fitur, pencarian grid, dan pendekatan lainnya, pendekatan yang diusulkan tidak hanya memiliki akurasi klasifikasi yang lebih tinggi dan subset fitur yang lebih kecil, namun juga memiliki waktu pemrosesan yang lebih sedikit [24].

Berikut merupakan metode yang diusulkan oleh Zhao et al (2011):



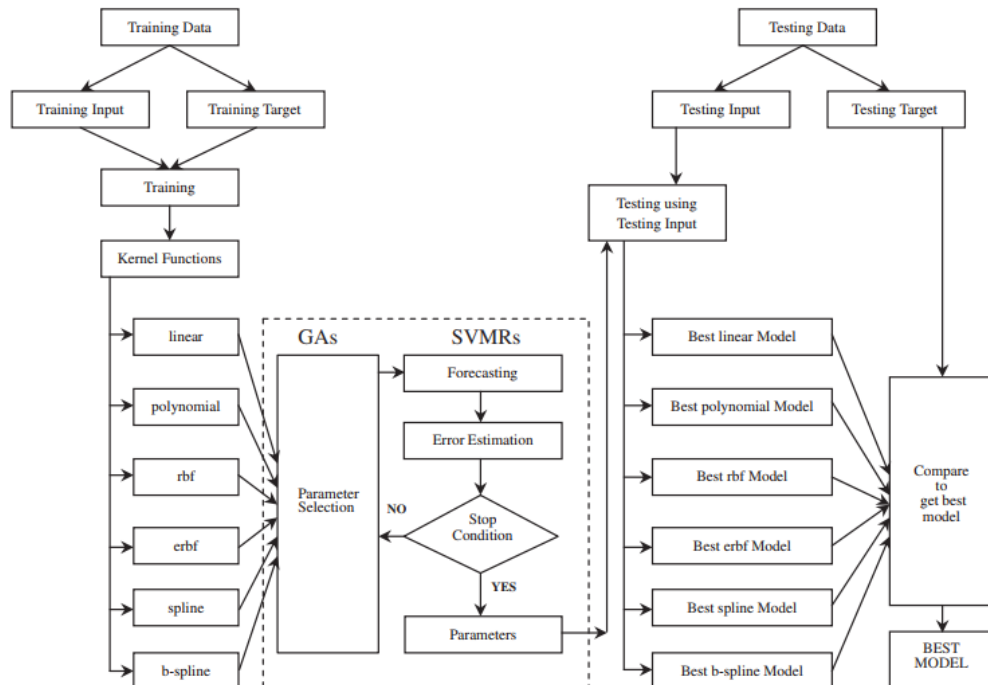
Gambar 2.4 Metode yang Diusulkan oleh Zhao et al (2011)

### 2.1.5 Penelitian dari Patil et al (2012)

Perencanaan dan desain pekerjaan perlindungan pantai seperti pemecah gelombang pipa terapung memerlukan informasi tentang karakteristik kinerja struktur dalam mereduksi energi gelombang. Beberapa peneliti telah melakukan studi analitis dan numerik pada floating breakwater di masa lalu namun gagal memberikan model matematika sederhana untuk memprediksi transmisi gelombang melalui floating breakwater dengan mempertimbangkan semua kondisi batas. Teknik kecerdasan komputasi seperti Artificial Neural Networks (ANN), logika fuzzy, pemrograman

genetik dan Support Vector Machine (SVM) berhasil digunakan untuk memecahkan masalah yang kompleks. Dalam makalah ini, model hybrid Genetic Algorithm Tuned Support Vector Machine Regression (GA-SVMR) dikembangkan untuk memprediksi transmisi gelombang pemecah gelombang pipa terapung multilayer yang ditambatkan secara horizontal (HIMMFPB). Selanjutnya, parameter SVM dan kernel optimal model GA-SVMR ditentukan oleh algoritma genetika. Model GA-SVMR dilatih pada kumpulan data yang diperoleh dari eksperimen transmisi gelombang HIMMFB menggunakan flume gelombang reguler di Laboratorium Struktur Kelautan, Institut Teknologi Nasional, Karnataka, Surathkal, Mangalore, India. Hasilnya dibandingkan dengan model ANN dan Adaptive Neuro-Fuzzy Inference System (ANFIS) ditinjau dari koefisien korelasi, root mean square error dan indeks sebar. Kinerja GA-SVMR terbukti lebih unggul. Fungsi kernel b-spline berkinerja lebih baik daripada fungsi kernel lainnya untuk kumpulan data tertentu [25].

Berikut merupakan metode yang diusulkan oleh Patil et al (2012):



Gambar 2.5 Metode yang Diusulkan oleh Patil et al (2012)

## 2.2 Tinjauan Studi

### 2.2.1 Data Mining

*Data Mining* adalah proses yang mempekerjakan satu atau lebih teknik pembelajaran komputer (*machine learning*) untuk menganalisis dan mengekstraksi pengetahuan (*knowledge*) secara otomatis. Definisi lain adalah pembelajaran berbasis induksi (*induction-based learning*) adalah proses pembentukan definisi-definisi konsep umum yang dilakukan dengan cara mengobservasi contoh-contoh spesifik dari konsep-konsep yang akan dipelajari [26].

Data mining merupakan proses iteratif dan interaktif untuk menemukan pola atau model baru yang sahih (sempurna), bermanfaat dan dapat dimengerti dalam suatu *database* yang sangat besar (*massive database*) [26].

- a. Sahih: Dapat digeneralisasi untuk masa yang akan datang.
- b. Baru: Apa yang sedang tidak diketahui.
- c. Bermanfaat: Dapat digunakan untuk melakukan suatu tindakan.
- d. Interatif: memerlukan sejumlah proses yang diulang.
- e. Interaktif: memerlukan interaksi manusia dalam prosesnya.

Data mining dapat diterapkan pada banyak bidang seperti marketing, servis finansial, deteksi penipuan, credit scoring, pengaturan jaringan, penjadwalan, diagnosa medis, pengawasan barang persediaan, diagnosa kesalahan, peramalan dan masih banyak lagi [27].

### 2.2.2 Support Vector Machine

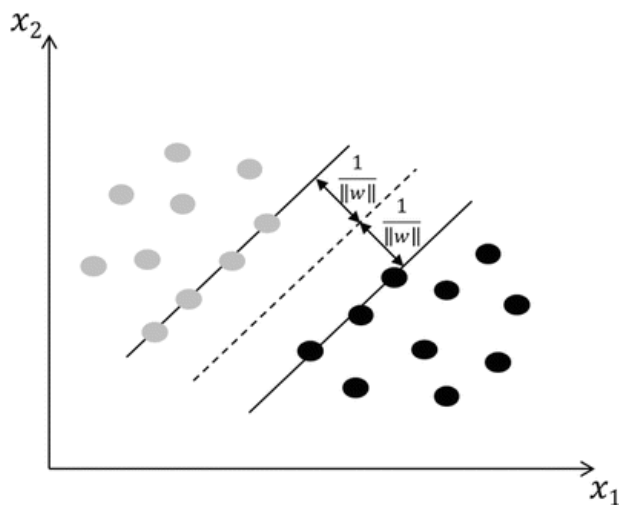
Support Vector Machine (SVM) secara konseptual adalah mesin linear yang dilengkapi dengan fitur spesial. SVM memiliki dua sifat khusus yaitu mencapai generalisasi yang tinggi dengan memaksimalkan margin dan mendukung

pembelajaran yang efisien dari fungsi nonlinear dalam trik kernel membuat kinerja generalisasinya baik dalam menyelesaikan masalah pengenalan pola [28].

SVM juga merupakan modifikasi dari metode klasifikasi. SVM sangat disukai jika terdapat sejumlah kecil subjek yang diprediksi. Pada skala aslinya, SVM menunjukkan prediksi yang lebih baik dibandingkan model lain [29].

SVM merupakan sebuah kelas prosedur pembelajaran (statistik) terkini, yang juga termasuk dalam bidang umum jaringan saraf. Secara konseptual, SVM merupakan sebuah mesin linier yang dilengkapi dengan fitur khusus dan didasarkan pada metode *Structural Risk Minimization* (SRM) dan teori pembelajaran statistik. Akibatnya, SVM dapat memberikan kinerja generalisasi yang baik dalam masalah pengenalan pola, tanpa memasukkan pengetahuan domain masalah, yang memberikan fitur unik di antara mesin pembelajaran lainnya [30].

Teknik SVM adalah pengklasifikasi untuk menemukan hyperplane. Dengan menggunakan fungsi  $g(x) = \omega^T x + b$  yang dapat memisahkan dua kelas dengan margin maksimum dengan benar. Berikut merupakan penggambaran 2 kelas yang dapat dipisahkan oleh margin maksimum dengan menggunakan SVM.



Sumber: [31]

Gambar 2.6 Pemisahan dua kelas dengan margin maksimum pada SVM

Mempertimbangkan suatu set data atau dataset pelatihan yang terdiri dari pasangan input ataupun output  $(x_1, y_1), \dots, (x_m, y_m)$ , dimana  $x_i$  merupakan masukan dari atribut vektor yang terdiri dari besarnya tegangan dan sudut tahap tegangan untuk titik pengoperasian ke-I, dan setiap  $x_i \in R^n$  ruang masukan dari sampel. Sedangkan  $y_i$  terkait nilai tujuan yaitu VSMI dan m sesuai dengan ukuran dari data pelatihan.

Ide dari permasalahan regresi adalah untuk menentukan fungsi linear yang dapat mendekati hubungan antara kumpulan data dan dapat digunakan untuk memperkirakan sasaran VSMI sehubungan dengan vektor masukan dari titik operasi baru. Menggunakan notasi matematika, fungsi regresi berbentuk:

$$f(x) = \omega\varphi(x) + b \quad (2.1)$$

Dimana  $x_i \in R^n$ ,  $b \in R$ .  $\varphi(x)$  menunjukkan ruang fitur berdimensi tinggi, yang mana dipetakan dari ruang masukan  $x$ . Tujuannya adalah untuk mencari nilai dari bobot vektor ( $\omega$ ) nilai-nilai bias ( $b$ ). sehingga nilai dari dapat ditentukan dengan meminimalkan fungsi regulasi risiko.

$$R_{reg}(f) = C \frac{1}{m} + \sum_{i=0}^m \varepsilon(f(x_i) - y_i) + \frac{1}{2} \|\omega\|^2 \quad (2.2)$$

Dimana  $\omega$  menunjukkan norma Euclidean, sedangkan  $C$  menunjukkan sebuah fungsi pемbiayaan yang mengukur sebuah resiko empiris dan  $\varepsilon(\cdot)$  adalah sebuah fungsi kerugian.

Pemilihan parameter yang optimal merupakan langkah yang sangat penting dalam metode SVM. Parameter-parameter dalam SVM yang diperlukan untuk regresi adalah:

1. Fungsi kernel: fungsi kernel merupakan fungsi yang digunakan untuk membangun sebuah keputusan nonlinier pada awal ruang masukan SVM. Selain itu, ada fungsi kerbel seperti fungsi Gaussian (RBF) yang akan menghasilkan estimasi kinerja yang unggul (Smola dan Schölkopf, 1998). Maka dari itu, fungsi Gaussian akan digunakan sebagai fungsi kernel.
2. Parameter regularisasi  $C$ :  $C$  mengendalikan pertukaran antara peminimalan model kompleksitas dan peminimalan kesalahan pelatihan.
3. Fungsi kernel RBF dari bidang luas  $\sigma^2$ :  $\sigma^2$  merupakan varian dari fungsi kernel Gaussian.
4.  $\epsilon$ :  $\epsilon$  merupakan sebuah radius dari sebuah tabung dari fungsi  $\epsilon$ -insensitif kerugian dimana fungsi regresi harusnya kebohongan.

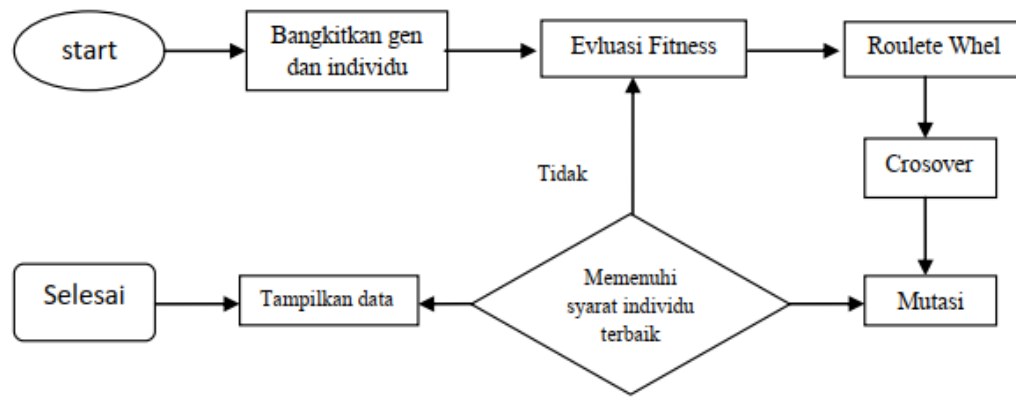
### 2.2.3 Algoritma Genetika

Algoritma genetika (GA) adalah algoritma evolusioner yang paling populer [32]. Algoritma genetika merupakan teknik pencarian global stochastic yang memecahkan masalah dengan meniru proses evolusi alami. Berdasarkan kelangsungan hidup dan reproduksi kebugaran, GA terus mengeksplorasi solusi baru dan lebih baik tanpa pra-asumsi, seperti kontinuitas dan unimodality. GA telah berhasil diterapkan untuk banyak masalah optimasi yang kompleks [33]. GA juga diterapkan sebagai pendekatan untuk mengidentifikasi pencarian nilai dan solusi bagi berbagai permasalahan optimasi [30].

GA mengembangkan sebuah solusi pencalonan populasi. Setiap solusi diwakili oleh kromosom yang biasanya dikodekan sebagai string biner. Kebugaran setiap kromosom kemudian dievaluasi menggunakan fungsi kinerja setelah kromosom telah diterjemahkan. Setelah menyelesaikan evaluasi, roda roulette bias digunakan agar secara acak memilih sepasang kromosom dan untuk menjalani operasi genetik yang

meniru fenomena alam yang diamati di alam (seperti *crossover* dan mutasi). Proses evolusi ini berlanjut sampai kriteria berhenti tercapai.

Secara umum, alur dalam GA dapat di gambarkan seperti dibawah ini:



Sumber: [34]

Gambar 2.7 Alur proses Algoritma Genetika

GA berbeda dari teknik optimasi nonlinier konvensional dalam hal tersebut mempertahankan pencarian dengan sebuah solusi populasi (atau data dasar) dari solusi yang lebih baik yang telah diciptakan daripada membuat perubahan tambahan untuk solusi tunggal untuk masalah tersebut. GA secara bersamaan memiliki sejumlah besar kandidat solusi untuk sebuah masalah, yang disebut populasi. Fitur utama dari GA adalah memanipulasi sebuah populasi yang individunya ditandai dengan memiliki sebuah kromosom.

Dua persoalan penting dalam GA adalah pengkodean genetik yang digunakan untuk mendefinisikan masalah dan fungsi evaluasi yang disebut fungsi kebugaran. Setiap solusi individu dalam GA diwakili oleh string yang disebut kromosom. Populasi solusi awal yang dihasilkan secara acak, yang berkembang menjadi generasi berikutnya dengan operator genetik seperti seleksi, *crossover* dan mutasi. Kode solusi oleh string dievaluasi dengan fungsi fitness. Operator pemilihan memungkinkan string

dengan kebugaran yang lebih tinggi muncul dengan probabilitas yang lebih tinggi pada generasi berikutnya. *Crossover* dilakukan antara dua individu(disebut orang tua) yang dipilih dengan bertukar bagian dari string mereka, mulai dari titik *crossover* dipilih secara acak. Operator ini cenderung untuk memungkinkan proses evolusi bergerak menuju daerah yang menjanjikan dari ruang pencarian. Mutasi digunakan untuk mencari ruang masalah lebih lanjut dan untuk menghindari konvergensi lokal dari GA.

## BAB 3

### METODE PENELITIAN

#### 3.1 Perancangan Penelitian

Terdapat 4 metode paling umum dalam penelitian, diantara *action research*, *experiment*, *case study*, dan *survey* [35]. Diantara metode penelitian tersebut, penelitian ini menggunakan metode *experiment*. Hal ini dikarenakan peneliti akan melakukan penyelidikan terhadap beberapa variabel dengan suatu pengujian yang sudah diatur oleh peneliti sendiri. Metode yang digunakan untuk pengujian adalah *Support Vector Machine* yang ditambahkan Algoritma Genetika untuk mengoptimasi parameternya. Untuk melakukan hal tersebut, langkah-langkah yang harus dikerjakan adalah:

##### 1. Pengumpulan data

Bagian ini menjelaskan tentang bagaimana dan darimana data dalam penelitian ini didapatkan. Pada bagian ini pula ditentukan data yang akan diproses.

##### 2. Pengolahan Data Awal

Bagian ini merupakan tahap pengolahan yang meliputi proses input data, pembersihan data, pengelompokan data dan penentuan atribut data sesuai dengan format yang dibutuhkan

##### 3. Metode yang Diusulkan

Bagian ini dilakukan setelah tahap pengumpulan data dan pengolahan data selesai. Bagian ini merupakan bagian penentuan metode yang mana bagian ini harus dilakukan agar bagian experiment dan pengujian dapat dijalankan.

##### 4. Experimen dan pengujian model

Bagian ini merupakan bagian untuk melakukan eksperimen dan pengujian terhadap model/metode yang diusulkan menggunakan data yang sudah dikumpulkan dan diolah.

## 5. Evaluasi

Bagian ini merupakan tahap akhir dari penelitian. Bagian ini berisi hasil dari tahap eksperimen dan pengujian model.

### 3.2 Pengumpulan Data

Dalam pengumpulan data pada penelitian kami ini, kami menggunakan *dataset* ILPD (*Indian Liver Patient Dataset*) yang kami dapatkan dari UCI *Repository database* pembelajaran mesin [36].

Dimana data yang tersedia di UCI merupakan data yang baku dan sudah memenuhi standarisasi guna untuk penelitian.

Tabel 3.1 ILPD (*Indian Liver Patient Dataset*)

| Age | Gender | TB   | DB  | Alkphos | Sgpt | Sgot | TP  | ALB | A/G_Ratio | Selector |
|-----|--------|------|-----|---------|------|------|-----|-----|-----------|----------|
| 65  | Female | 0.7  | 0.1 | 187     | 16   | 18   | 6.8 | 3.3 | 0.9       | 1        |
| 62  | Male   | 10.9 | 5.5 | 699     | 64   | 100  | 7.5 | 3.2 | 0.74      | 1        |
| 62  | Male   | 7.3  | 4.1 | 490     | 60   | 68   | 7   | 3.3 | 0.89      | 1        |
| 58  | Male   | 1    | 0.4 | 182     | 14   | 20   | 6.8 | 3.4 | 1         | 1        |
| 72  | Male   | 3.9  | 2   | 195     | 27   | 59   | 7.3 | 2.4 | 0.4       | 1        |
| 46  | Male   | 1.8  | 0.7 | 208     | 19   | 14   | 7.6 | 4.4 | 1.3       | 1        |
| 26  | Female | 0.9  | 0.2 | 154     | 16   | 12   | 7   | 3.5 | 1         | 1        |
| 29  | Female | 0.9  | 0.3 | 202     | 14   | 11   | 6.7 | 3.6 | 1.1       | 1        |
| 17  | Male   | 0.9  | 0.3 | 202     | 22   | 19   | 7.4 | 4.1 | 1.2       | 2        |
| 55  | Male   | 0.7  | 0.2 | 290     | 53   | 58   | 6.8 | 3.4 | 1         | 1        |
| 57  | Male   | 0.6  | 0.1 | 210     | 51   | 59   | 5.9 | 2.7 | 0.8       | 1        |
| 72  | Male   | 2.7  | 1.3 | 260     | 31   | 56   | 7.4 | 3   | 0.6       | 1        |
| 64  | Male   | 0.9  | 0.3 | 310     | 61   | 58   | 7   | 3.4 | 0.9       | 2        |
| 74  | Female | 1.1  | 0.4 | 214     | 22   | 30   | 8.1 | 4.1 | 1         | 1        |
| 61  | Male   | 0.7  | 0.2 | 145     | 53   | 41   | 5.8 | 2.7 | 0.87      | 1        |
| 25  | Male   | 0.6  | 0.1 | 183     | 91   | 53   | 5.5 | 2.3 | 0.7       | 2        |

Kami sengaja memilih dataset yang dimana siapa saja bisa mencari dan menggunakannya. Hal ini kami lakukan agar peneliti lain bisa turut menguji dan menganalisa keabsahan metode yang kami usulkan.

Dari data tabel 3.1 diatas, menunjukkan deskripsi dari dataset yang kami gunakan. Dataset ILPD (*Indian Liver Patient Dataset*) memiliki 583 data training atau 583 baris data yang akan diproses dan memiliki 2 kelas atau 2 jenis tolak ukur yang akan dihitung dalam data tersebut, serta memiliki 10 fitur atau 10 kolom data yang menjadi bahan pengukur yang akan dihitung guna menentukan kelas yang ada.

### **3.3 Pengolahan Awal Data**

Untuk tahapan ini, dataset yang kami tentukan telah kami siapkan dan kami sesuaikan format dataset tersebut sehingga siap untuk kami gunakan dengan metode yang kami usulkan.

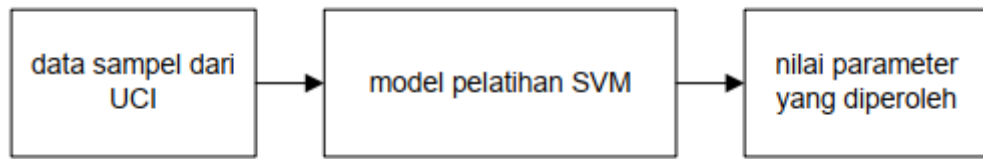
Selanjutnya kami menentukan label atau tolak ukur pada dataset tersebut. Lebel disini berfungsi sebagai patokan pengukuran saat perhitungan berlangsung.

Ini kami lakukan dengan alasan bahwa tidak semua data yang kami ambil telah siap untuk langsung kami ujicoba dengan menggunakan SVM. Sehingga beberapa hal harus kami sesuaikan terlebih dahulu.

### **3.4 Metode Yang Diusulkan**

Dalam SVM non-linear, rentetan pengaturan parameter adalah  $C$ ,  $\sigma^2$  dan  $\varepsilon$  yang memainkan sebuah peranan penting dalam kinerja umum.

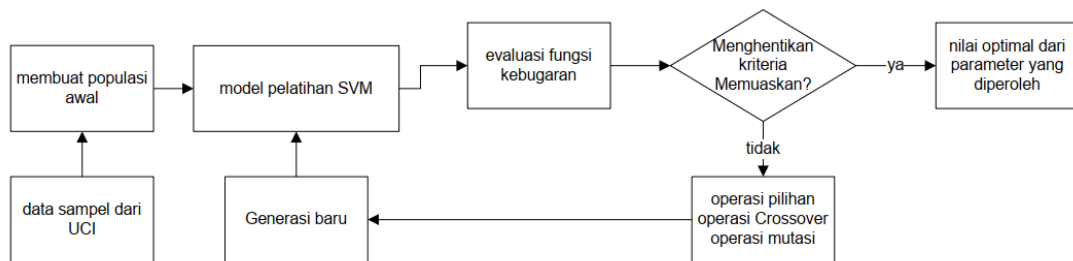
Pada penelitian yang dilakukan, Algoritma Genetika (GA) digunakan untuk menemukan nilainilai optimal dari parameter *Support Vector Machine* (SVM). Parameter yang optimal dapat digunakan untuk membangun model SVM agar prediksi dapat berlanjut.



Gambar 3.1 *Flowchart SVM*

Algoritma genetika secara acak akan menghasilkan populasi awal dari sebuah kromosom untuk mencari nilai optimal dari parameter SVM.

Gambar 3.1. menggambarkan konsep secara singkat proses jalannya data saat menggunakan metode SVM. Proses tersebut dimulai dengan memasukan data dari UCI yang sudah disiapkan ke dalam metode SVM. Kemudian data tersebut diproses dan hasil akhir akan muncul.



Gambar 3.2 *Flowchart GA-SVM*

Gambar 3.1. menggambarkan konsep secara singkat proses jalannya data saat menggunakan metode SVM. Proses tersebut dimulai dengan memasukan data dari UCI yang sudah disiapkan ke dalam metode SVM. Kemudian data tersebut diproses dan hasil akhir akan muncul.

Gambar 3.2. menggambarkan pendekatan GA-SVM yang kami usulkan. Algoritma Genetika secara acak menghasilkan populasi awal dari sebuah kromosom untuk mencari nilai optimal dari parameter SVM. Setelah populasi awal terbentuk, data dihitung dengan menggunakan metode SVM hingga menghasilkan bentuk evaluasi dari fungsi kebugaran. Selanjutnya hasil dari evaluasi tersebut kita cek apakah hasil tersebut telah memenuhi atau tidak. Jika belum, maka akan dilakukan 3

proses untuk membentuk sebuah generasi baru yang nantinya akan dihitung kembali dengan menggunakan metode SVM. Ketiga proses tersebut adalah operasi pemilihan, operasi crossover dan operasi mutasi. Operasi pilihan adalah operasi dimana kita memilih individu yang unggul dari populasi yang ada. Operasi crossover merupakan operasi operasi penyilangan gen antara 2 individu yang nantinya akan membentuk sebuah individu baru yang menwarisi kelebihan dari kedua individu sebelumnya. Operasi mutasi akan memungkinkan kita untuk mengubah/memodifikasi sebuah gen sehingga kualitas gen tersebut akan berubah. Setelah ketiga proses tersebut dijalankan, maka akan terbentuk generasi baru yang memiliki kualitas yang berbeda dengan generasi sebelumnya. Selanjutnya generasi baru tersebut akan dihitung kembali dengan menggunakan metode SVM sehingga kita melihat hasilnya. Jika hasilnya memuaskan, maka hasil tersebut merupakan proses klasifikasi atau regresi yang kita cari.

Sedangkan penjelasan dari segi formulasi untuk GA-SVM yang akan diusulkan adalah sebagai berikut:

1. Representasi: tiga parameter yang akan dioptimalkan dalam GA-SVM yaitu  $C$ ,  $\sigma^2$  dan  $\varepsilon$  akan diubah menjadi kode untuk menghasilkan kromosom. Kromosom  $X$  direpresentasikan sebagai  $X = \{x_1, x_2, x_3\}$  dimana  $x_1$ ,  $x_2$  dan  $x_3$  melambangkan setiap parameter pada SVM yaitu  $C$ ,  $\sigma^2$  dan  $\varepsilon$ .
2. Kebugaran: Untuk mencegah terjadinya overfitting dan underfitting pada model GASVM, teknik validasi silang akan digunakan untuk pemilihan parameter SVM yang optimal [37]. Dalam validasi persilangan kelipan-K, training set secara acak dibagi menjadi subset K dengan ukuran yang sama. Model regresi SVM dibangun dengan himpunan parameter menggunakan (K-1) bagian sebagai training set. Kinerja parameter SVM akan diperiksa pada bagian ke-K. Prosedur di atas diulang

sehingga setiap bagian dapat digunakan sekali sebagai pengujian set. Dalam penelitian yang diusulkan ini, kami mempertimbangkan teknik validasi silang dengan lima kali kelipatan. Oleh karena itu, fungsi kebugaran didefinisikan sebagai  $MAPE_{cross\_val}$  dari metode validasi lima kali lipat pada set pelatihan dan diberikan oleh:

$$\min f = MAPE_{cross\_val} \quad (3.1)$$

$$MAPE_{cross\_val} = \frac{\sum_{i=1}^m \left| \frac{A_i - p_i}{A_i} \right|}{m} + 100\% \quad (3.2)$$

Dari formula diatas,  $m$  merupakan jumlah sampel pada set pelatihan,  $A_i$  merupakan nilai aktual dan  $P_i$  adalah nilai prediksi. Solusi dengan sebuah nilai yang lebih kecil dari  $MAPE_{cross\_val}$  memiliki kesempatan lebih baik untuk bertahan di generasi berturut-turut.

3. Inisialisasi Populasi: Dalam penelitian yang dilakukan, dibuatlah populasi awal yang terdiri dari dua puluh kromosom secara acak. Ukuran populasi dipilih sebagai trade-off antara waktu konvergensi dan keragaman populasi.
4. Evaluasi Kebugaran: Nilai kebugaran untuk setiap kromosom secara acak pada Langkah 3.
5. Pembuatan populasi baru: Seleksi, crossover dan mutasi dilakukan untuk menggantikan populasi saat ini dengan populasi yang lebih baru. Kromosom dengan nilai kebugaran yang lebih baik dipilih ke dalam kolam rekombinasi menggunakan roda roulette. Gen antara kedua orang tua kromosom dipertukarkan untuk mendapatkan keturunan baru untuk mencoba mendapatkan solusi yang lebih baik, kemungkinan menciptakan kromosom baru di masing-masing pasangan diatur ke 0,8. Mutasi dilakukan untuk mengubah kode biner dengan probabilitas 0,05.

6. Menghentikan kriteria: Proses ini diulang dari langkah IV ke Langkah 5 sampai jumlah generasi mencapai batasnya.

### **3.5 Eksperimen Dan Pengujian Metode**

Pada bagian ini peneliti akan membahas tahapan eksperimen serta pengujian dari metode yang kami usulkan.

Tahapan eksperimen dan pengujian metode penelitian ini adalah:

1. Meng-import dataset yang sudah disiapkan
2. Memasukan dataset tersebut pada metode yang diusulkan

Dalam melakukan tahapan penelitian ini, kami menggunakan *dataset* ILPD (*Indian Liver Patient Dataset*) yang kami dapatkan dari UCI *Repository database* pembelajaran mesin [36].

Dimana *dataset* tersebut mudah didapat dan telah memenuhi standarisasi guna penelitian. Selain itu, dalam proses pengujian penelitian ini, kami menggunakan Rapidminer 5 sebagai *software* yang akan melakukan perhitungan untuk penelitian ini.

### **3.6 Evaluasi Dan Validasi**

Pada bagian ini, kami menyajikan hasil eksperimen pada beberapa *dataset* dari UCI *Repository database* pembelajaran mesin [36]. Dimana kami memilih dataset patokan berikut: *User Knowledge Modeling*. Kami memilih *dataset* patokan dari UCI *Repository* berdasarkan berikut kriteria untuk evaluasi obyektif dan efisien:

1. *Dataset* yang kami pilih harus utuh(tidak ada data yang hilang) ataupun rusak.
2. Kami memilih *dataset* yang memiliki lebih dari 1 kelas.
3. Kami menghindari *dataset* dengan jumlah yang besar, karena akan membutuhkan waktu lebih lama saat proses perhitungan.

Untuk membandingkan kinerja klasifikasi metode kami (GA-SVM), Kami akan membandingkannya dengan metode SVM. Kriteria yang paling penting untuk

mengevaluasi kinerja dari metode ini adalah dengan mengukur tingkat *Accuracy* klasifikasi yang dihasilkan. Kami juga akan mengukur *Precision*, *Recall*, dan AUC untuk melihat seberapa efektif metode yang kami usulkan.

Kemudian, kita mengukur seluruh rangkaian seting straining menggunakan pasangan yang mencapai tingkat validasi terbaik dan kami menggunakan prediksi yang diperoleh pada dataset tes. Jika beberapa pasang memiliki akurasi yang sama dalam tahap validasi, kita menerapkan semua dari mereka untuk *dataset* tes dan melaporkan akurasi tertinggi.

## **BAB 4**

### **HASIL DAN PEMBAHASAN**

#### **4.1 Tahapan Pengujian**

Tahapan yang dilakukan dalam penelitian ini adalah:

##### *1. Data Preparation*

Pada tahap ini, data disiapkan yang nantinya akan diolah menggunakan metode yang telah dipilih oleh peneliti. Dataset yang digunakan adalah *dataset ILPD (Indian Liver Patient Dataset)* yang peneliti dapatkan dari UCI Repository database.

##### *2. Data Processing*

Pada tahap ini, data bersihkan dan dirapikan sehingga layak untuk di proses. Kemudian data dapat kita tes dengan metode SVM untuk menguji apakah data tersebut sudah dapat digunakan atau tidak. Jika terdapat *missing* pada data, maka akan dilakukan *cleaning* agar data tersebut dapat digunakan.

##### *3. Select Fitur Subset*

Pada tahap ini, data yang ada akan dibagi menjadi 2 bagian. Bagian pertama akan menjadi bagian data *training*. Bagian kedua akan menjadi bagian data *testing*. Data *training* akan mengambil 70% dari keseluruhan data yang ada. Sedangkan data *testing* akan mengambil 30% dari keseluruhan data yang ada.

##### *4. Variable Value Of Parameter pair*

Pada tahap ini, dilakukan pengoptimalan pada parameter yang ada pada metode SVM. Pada saat parameter nya sudah dioptimalkan, maka data yang ada akan

diproses kembali menggunakan metode SVM untuk melihat hasil dari optimasi parameter yang dilakukan.

#### 5. *Fitness Evaluation*

Pada tahap ini, dilakukan evaluasi terhadap hasil proses yang dilakukan. Apakah hasil yang didapat terdapat peningkatan atau penurunan.

#### 6. Operasi *Genetic Feature Chromosom* dan SVM

Pada tahap ini, dilakukan penerapan algoritma genetika untuk mengoptimasi metode SVM agar menjadi lebih baik. Data yang ada akan diproses kembali untuk melihat hasil didapat.

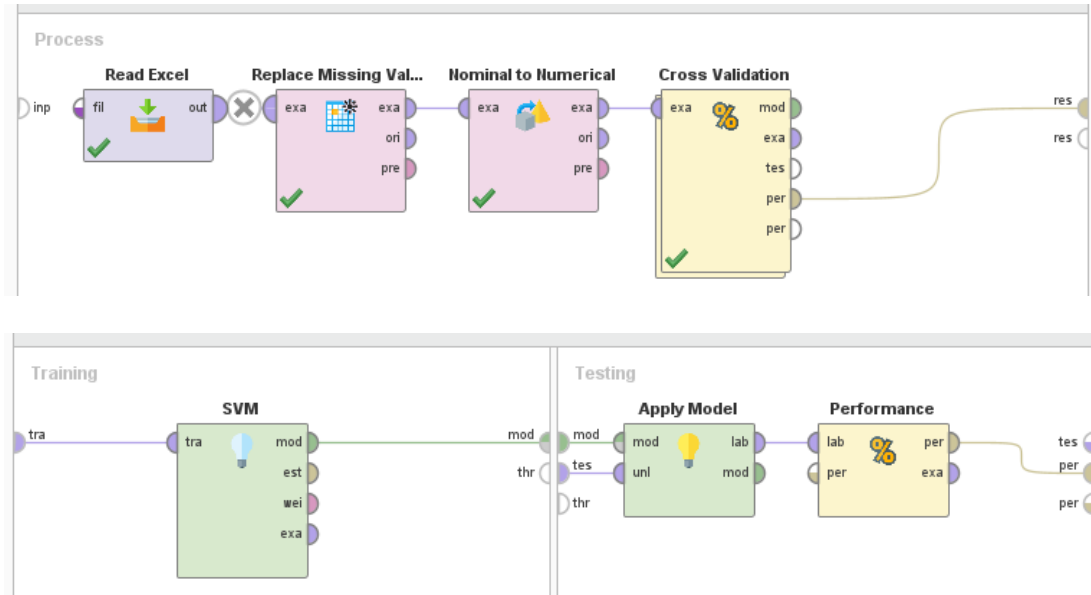
#### 7. *Result/optimized and feature subset*

Pada tahap ini, akan dilakukan pengoptimalan pada parameter kembali pada metode SVM yang sudah dioptimalkan dengan algoritma genetika. Pada saat parameter nya sudah dioptimalkan, maka data yang ada akan diproses kembali menggunakan metode SVM yang sudah dioptimalkan dengan algoritma genetika untuk melihat hasil dari optimasi parameter yang dilakukan.

## 4.2 Hasil Eksperimen dan Pengujian Metode

### 4.2.1 Metode *Support Vector Machine*

Pada tahap pertama ini akan dilakukan pengujian dengan menggunakan metode SVM terlebih dahulu untuk melihat tingkat keakurasian dari metode ini terhadap data yang telah disiapkan.



Gambar 4.1 Pengujian metode SVM

Berikut adalah gambar dari aplikasi rapid miner yang peneliti gunakan untuk tingkat akurasi metode SVM dengan dataset yang ada.

Pada tahap awal, data yang ada di siapkan dan dibersihkan agar siap untuk dipakai. Lalu data tersebut digunakan dalam proses menggunakan metode SVM. Setelah proses selesai. Peneliti dapat melihat hasil yang didapat dari proses menggunakan metode SVM. Dari proses menggunakan metode SVM, tingkat akurasi yang didapatkan sebesar 71,36%.

accuracy: 71.36% +/- 1.02% (micro average: 71.36%)

|              | true 1  | true 2 | class precision |
|--------------|---------|--------|-----------------|
| pred. 1      | 416     | 167    | 71.36%          |
| pred. 2      | 0       | 0      | 0.00%           |
| class recall | 100.00% | 0.00%  |                 |

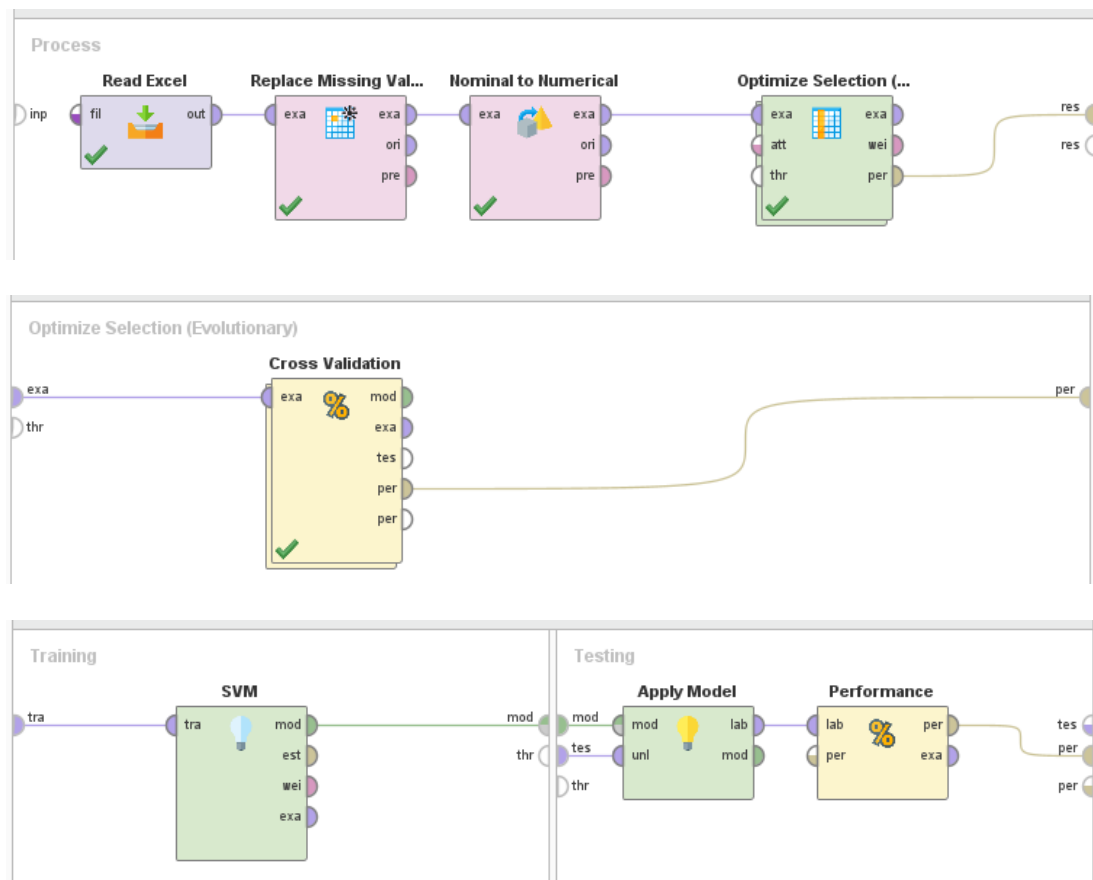
Gambar 4.2 Tingkat akurasi metode SVM

Dari gambar diatas, terlihat tingkat akurasi yang di dapat dari metode SVM dengan menggunakan dataset yang ada.

#### 4.2.2 Metode *Support Vector Machine* dengan Optimasi Algoritma Genetika

Setelah data yang sudah disedia di proses dengan menggunakan metode SVM. Hasil yang didapat dari proses tersebut adalah tingkat akurasi sebesar 71,36%. selanjutnya peneliti akan menerapkan Algoritma Genetika untuk mengoptimasi parameter pada SVM sehingga dapat meningkatkan tingkat akurasinya.

Data yang ada di siapkan kembali untuk proses berikutnya. Tidak lupa data dirapikan dan dibersihkan sehingga siap digunakan. Selanjutnya Algoritma Genetika di pasangkan pada SVM. Kemudian data diproses kembali dengan menggunakan metode SVM yang sudah dilengkapi dengan Algoritma Genetika.



Gambar 4.3 Pengujian metode SVM-GA

Setelah proses selesai dan hasil didapat. Peneliti dapat membandingkan hasil yang didapat dari proses menggunakan metode SVM yang sudah dioptimasi dengan

Algoritma Genetika dengan hasil dari proses yang hanya menggunakan metode SVM standar.

accuracy: 72.22% +/- 2.68% (micro average: 72.21%)

|              | true 1 | true 2 | class precision |
|--------------|--------|--------|-----------------|
| pred. 1      | 413    | 159    | 72.20%          |
| pred. 2      | 3      | 8      | 72.73%          |
| class recall | 99.28% | 4.79%  |                 |

Gambar 4.4 Tingkat akurasi metode SVM-GA

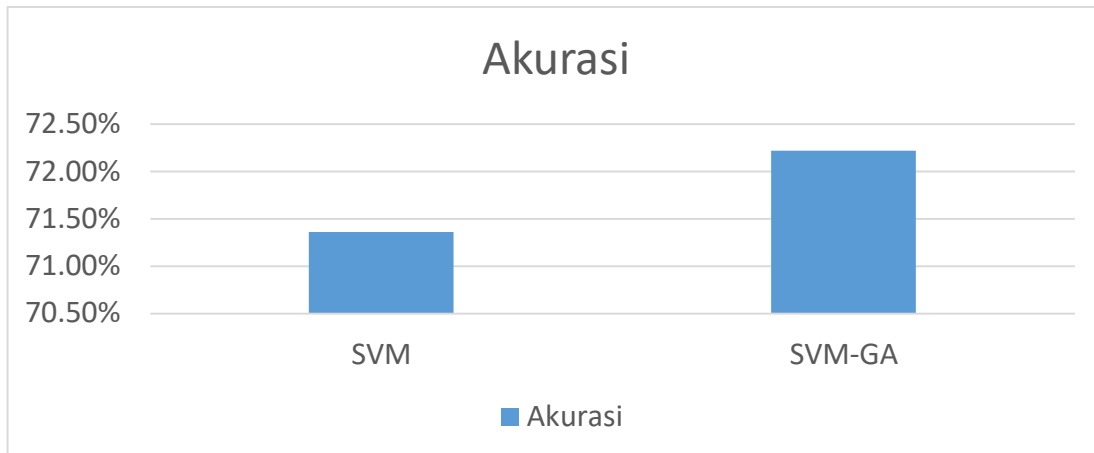
Tingkat akurasi dari hasil proses metode SVM yang sudah dioptimasi oleh Algoritma Genetika mencapai 72,22%. Dari hasil tersebut, jika peneliti tampilkan dalam bentuk tabel untuk membandingkan tingkat akurasi dari hasil proses metode SVM dengan tingkat akurasi dari hasil metode SVM yang sudah dioptimasi Algortima Genetika adalah:

Tabel 4.1 Tabel perbandingan tingkat akurasi SVM dan SVM-GA

| SVM    | SVM-GA |
|--------|--------|
| 71,36% | 72,22% |

Dari tabel tersebut, jika peneliti membandingkan tingkat akurasi yang di dapat dari membandingkan tingkat akurasi dari hasil proses metode SVM dengan tingkat akurasi dari hasil metode SVM yang sudah dioptimasi Algortima Genetika maka akan terlihat bahwa tingkat akurasi pada metode SVM yang sudah dioptimasi oleh Algoritma Genntika lebih tinggi dibandingkan tingkat akurasi pada metode SVM standar.

Jika ditampilkan dalam bentuk diagram, maka akan tampil seperti dibawah ini:



Gambar 4.5 Diagram tingkat akurasi SVM dan SVM-GA

Dari diagram tersebut kita dapat melihat seberapa besar peningkatan akurasi yang didapatkan dari metode SVM yang sudah dioptimasi oleh Algoritma Genetika dibandingkan dengan SVM standar.

## **BAB 5**

### **PENUTUP**

Dalam tulisan ini, kami mengusulkan sebuah metode Algoritma Genetika (GA) yang mengoptimasi parameter pada *Support Vectcor Machine* (SVM) untuk meningkatkan akurasi perkiraan pada SVM.

#### **5.1 Kesimpulan**

Kesimpulan yang peneliti dapat adalah:

1. Dengan menggunakan *dataset ILPD (Indian Liver Patient Dataset)* yang peneliti dapatkan dari UCI *Repository database*, peneliti dapat menggunakan dataset tersebut untuk menguji tingkat akurasi metode SVM. Setelah dilakukan pengujian, tingkat akurasi yang didapatkan mencapai 71,36%.
2. Setelah dilakukan pengujian menggunakan metode SVM yang dioptimasi dengan menggunakan Algoritma Genetika, terdapat peningkatan akurasi sebesar 72,22%. Hal ini membuktikan bahwa Algoritma Genetika mampu meningkatkan akurasi dari metode SVM.

#### **5.2 Saran**

Saran yang didapat adalah:

1. Saran untuk penelitian ini kedepannya, peneliti akan berusaha untuk mempersingkat waktu proses yang dibutuhkan dalam metode GA-SVM.
2. Menggunakan metode selain Algoritma Genetika untuk mencari tingkat akurasi yang lebih baik.

## DAFTAR PUSTAKA

- [1] A. Buldu and K. Üçgün, “Data mining application on students’ data,” *Procedia - Soc. Behav. Sci.*, vol. 2, no. 2, pp. 5251–5259, Jan. 2010, doi: 10.1016/J.SBSPRO.2010.03.855.
- [2] C.-W. Tsai, C.-F. Lai, M.-C. Chiang, and L. T. Yang, “Data Mining for Internet of Things: A Survey,” *IEEE Commun. Surv. Tutorials*, vol. 16, no. 1, pp. 77–97, 2014, doi: 10.1109/SURV.2013.103013.00206.
- [3] S. H. Liao, P. H. Chu, and P. Y. Hsiao, “Data mining techniques and applications – A decade review from 2000 to 2011,” *Expert Syst. Appl.*, vol. 39, no. 12, pp. 11303–11311, Sep. 2012, doi: 10.1016/J.ESWA.2012.02.063.
- [4] N. Jothi, N. A. Rashid, and W. Husain, “Data Mining in Healthcare – A Review,” *Procedia Comput. Sci.*, vol. 72, pp. 306–313, Jan. 2015, doi: 10.1016/J.PROCS.2015.12.145.
- [5] W. Xindong, Z. Xingquan, W. Gong-Qing, and D. Wei, “Data mining with big data,” *IEEE Commun. Surv. Tutorials*, vol. 26, no. 1, pp. 97–107, 2014, doi: 10.1109/TKDE.2013.109.
- [6] B. . Lakshmi and G. . Raghunandhan, “A conceptual overview of data mining,” *IEEE Commun. Surv. Tutorials*, vol. 18, no. 2011 National Conference on Innovations in Emerging Technology, pp. 27–32, 2011, doi: 10.1109/NCOIET.2011.5738828.
- [7] F. Coenen, “Data mining: past, present and future,” *cambridge*, vol. 26, no. 1, pp. 25–29, 2011, doi: 10.1017/S0269888910000378.
- [8] A. Patle and D. S. Chouhan, “SVM kernel functions for classification,” *Int. Conf. Adv. Technol. Eng.*, pp. 1–9, 2013, doi: 10.1109/ICAdTE.2013.6524743.
- [9] L. M. R. Baccarini, V. V. Rocha E Silva, B. R. De Menezes, and W. M. Caminhas, “SVM practical industrial application for mechanical faults diagnostic,” *Expert Syst. Appl.*, vol. 38, no. 6, pp. 6980–6984, Jun. 2011, doi: 10.1016/J.ESWA.2010.12.017.
- [10] M. Rushdi Saleh, M. T. Martín-Valdivia, A. Montejo-Ráez, and L. A. Ureña-López, “Experiments with SVM to classify opinions in different domains,” *Expert Syst. Appl.*, vol. 38, no. 12, pp. 14799–14804, Nov. 2011, doi: 10.1016/J.ESWA.2011.05.070.
- [11] H. Qian, Y. Mao, W. Xiang, and Z. Wang, “Recognition of human activities using SVM multi-class classifier,” *Pattern Recognit. Lett.*, vol. 31, no. 2, pp. 100–111, Jan. 2010, doi: 10.1016/J.PATREC.2009.09.019.
- [12] S. Salcedo-Sanz, J. L. Rojo-Álvarez, M. Martínez-Ramón, and G. Camps-Valls, “Support vector machines in engineering: an overview,” *WIREs Data Min. Knowl. Discov.*, vol. 4, no. 3, pp. 234–267, 2014, doi: <https://doi.org/10.1002/widm.1125>.
- [13] M. Pal and G. M. Foody, “Feature Selection for Classification of Hyperspectral Data by SVM,” *IEEE Trans. Geosci. Remote Sens.*, vol. 48, no. 5, pp. 2297–2307, 2010, doi: 10.1109/TGRS.2009.2039484.
- [14] K.-P. Lin and M.-S. Chen, “On the Design and Analysis of the Privacy-Preserving SVM Classifier,” *IEEE Trans. Knowl. Data Eng.*, vol. 23, no. 11, pp. 1704–1717, 2011, doi: 10.1109/TKDE.2010.193.

- [15] F. Kuang, W. Xu, and S. Zhang, “A novel hybrid KPCA and SVM with GA model for intrusion detection,” *Appl. Soft Comput.*, vol. 18, pp. 178–184, May 2014, doi: 10.1016/J.ASOC.2014.01.028.
- [16] X. Z. Li and J. M. Kong, “Application of GA-SVM method with parameter optimization for landslide development prediction,” *Nat. Hazards Earth Syst. Sci.*, vol. 14, no. 3, pp. 525–533, 2014, doi: 10.5194/nhess-14-525-2014.
- [17] F. Temitayo, O. Stephen, and A. Abimbola, “Hybrid GA-SVM for Efficient Feature Selection in E-mail Classification,” vol. 3, no. 3, pp. 17–29, 2012.
- [18] A. J. Umbarkar and P. D. Sheth, “Crossover Operators in Genetic Algorithms: a Review,” *ICTACT J. Soft Comput.*, vol. 06, no. 01, pp. 1083–1092, 2015, doi: 10.21917/ijsc.2015.0150.
- [19] R. Malhotra, N. Singh, and Y. Singh, “Genetic Algorithms: Concepts, Design for Optimization of Process Controllers,” *Comput. Inf. Sci.*, vol. 4, no. 2, pp. 39–54, 2011, doi: 10.5539/cis.v4n2p39.
- [20] F. A. Omara and M. M. Arafa, “Genetic algorithms for task scheduling problem,” *J. Parallel Distrib. Comput.*, vol. 70, no. 1, pp. 13–22, Jan. 2010, doi: 10.1016/J.JPDC.2009.09.009.
- [21] I. Ilhan and G. Tezel, “A genetic algorithm-support vector machine method with parameter optimization for selecting the tag SNPs,” *J. Biomed. Inform.*, vol. 46, no. 2, pp. 328–340, 2013, doi: 10.1016/j.jbi.2012.12.002.
- [22] K. S. Sajan, V. Kumar, and B. Tyagi, “Genetic algorithm based support vector machine for on-line voltage stability monitoring,” *Int. J. Electr. Power Energy Syst.*, vol. 73, pp. 200–208, 2015, doi: 10.1016/j.ijepes.2015.05.002.
- [23] X. Guo, D. Li, and A. Zhang, “Improved Support Vector Machine Oil Price Forecast Model Based on Genetic Algorithm Optimization Parameters,” *AASRI Procedia*, vol. 1, pp. 525–530, 2012, doi: 10.1016/j.aasri.2012.06.082.
- [24] M. Zhao, C. Fu, L. Ji, K. Tang, and M. Zhou, “Feature selection and parameter optimization for support vector machines: A new approach based on genetic algorithm with feature chromosomes,” *Expert Syst. Appl.*, vol. 38, no. 5, pp. 5197–5204, 2011, doi: 10.1016/j.eswa.2010.10.041.
- [25] S. G. Patil, S. Mandal, and A. V. Hegde, “Genetic algorithm based support vector machine regression in predicting wave transmission of horizontally interlaced multi-layer moored floating pipe breakwater,” *Adv. Eng. Softw.*, vol. 45, no. 1, pp. 203–212, 2012, doi: 10.1016/j.advengsoft.2011.09.026.
- [26] F. A. Herawati, *Data Mining*. Yogyakarta: ANDI, 2013.
- [27] M. Alnoukari, *ASD-BI: A Knowledge Discovery Process Modeling Based on Adaptive Software Development Agile Methodology*. 2012. [Online]. Available: <http://www.igi-global.com/chapter/asd-knowledge-discovery-process-modeling/58571>
- [28] F. Gorunescu, *Intelligent Systems Reference Library*. Berlin Heidelberg: Springer-Verlag, 2011.
- [29] A. Azzalini and B. Scarpa, *Data Analysis and Data Mining*. New York: Oxford University Press, 2012.
- [30] F. Gorunescu, *Data Mining: Concepts, Models and Techniques*. Berlin Heidelberg: Springer-Verlag, 2011.
- [31] M. Awad and R. Khanna, *Support Vector Machines for Classification*. Apress, Berkeley, CA, 2015. doi: [https://doi.org/10.1007/978-1-4302-5990-9\\_3](https://doi.org/10.1007/978-1-4302-5990-9_3).
- [32] X.-S. Yang, *Nature-Inspired Optimization Algorithms*. Elsevier, 2014. doi: 10.1016/B978-0-12-416743-8.00005-1.

- [33] Q. Wu, “The hybrid forecasting model based on chaotic mapping, genetic algorithm and support vector machine,” *Expert Syst. Appl.*, vol. 37, no. 2, pp. 1776–1783, Mar. 2010, doi: 10.1016/J.ESWA.2009.07.054.
- [34] Suyanto, *Algoritma Genetika dalam MATLAB*. Yogyakarta: Andi, 2005.
- [35] C. W. Dawson, *Projects in Computing and Information Systems*, vol. 2. 2009. [Online]. Available: [http://www.sentimentaltoday.net/National\\_Academy\\_Press/0321263553.Addison.Wesley.Publishing.Company.Projects.in.Computing.and.Information.Systems.A.Students.Guide.Jun.2005.pdf](http://www.sentimentaltoday.net/National_Academy_Press/0321263553.Addison.Wesley.Publishing.Company.Projects.in.Computing.and.Information.Systems.A.Students.Guide.Jun.2005.pdf)
- [36] K. Bache and M. Lichman, “UCI Machine Learning Repository. University of California, School of Information and Computer Science.” 2013. [Online]. Available: <http://archive.ics.uci.edu/ml>
- [37] C. M. Bishop, *Pattern Recognition and Machine Learning*. New York: Springer, 2006.

## LAMPIRAN

**Lampiran 1 Dataset ILPD (*Indian Liver Patient Dataset*)**

| Age | Gender | TB   | DB  | Alkphos | Sgpt | Sgot | TP  | ALB | A/G_Ratio | Selector |
|-----|--------|------|-----|---------|------|------|-----|-----|-----------|----------|
| 65  | Female | 0.7  | 0.1 | 187     | 16   | 18   | 6.8 | 3.3 | 0.9       | 1        |
| 62  | Male   | 10.9 | 5.5 | 699     | 64   | 100  | 7.5 | 3.2 | 0.74      | 1        |
| 62  | Male   | 7.3  | 4.1 | 490     | 60   | 68   | 7   | 3.3 | 0.89      | 1        |
| 58  | Male   | 1    | 0.4 | 182     | 14   | 20   | 6.8 | 3.4 | 1         | 1        |
| 72  | Male   | 3.9  | 2   | 195     | 27   | 59   | 7.3 | 2.4 | 0.4       | 1        |
| 46  | Male   | 1.8  | 0.7 | 208     | 19   | 14   | 7.6 | 4.4 | 1.3       | 1        |
| 26  | Female | 0.9  | 0.2 | 154     | 16   | 12   | 7   | 3.5 | 1         | 1        |
| 29  | Female | 0.9  | 0.3 | 202     | 14   | 11   | 6.7 | 3.6 | 1.1       | 1        |
| 17  | Male   | 0.9  | 0.3 | 202     | 22   | 19   | 7.4 | 4.1 | 1.2       | 2        |
| 55  | Male   | 0.7  | 0.2 | 290     | 53   | 58   | 6.8 | 3.4 | 1         | 1        |
| 57  | Male   | 0.6  | 0.1 | 210     | 51   | 59   | 5.9 | 2.7 | 0.8       | 1        |
| 72  | Male   | 2.7  | 1.3 | 260     | 31   | 56   | 7.4 | 3   | 0.6       | 1        |
| 64  | Male   | 0.9  | 0.3 | 310     | 61   | 58   | 7   | 3.4 | 0.9       | 2        |
| 74  | Female | 1.1  | 0.4 | 214     | 22   | 30   | 8.1 | 4.1 | 1         | 1        |
| 61  | Male   | 0.7  | 0.2 | 145     | 53   | 41   | 5.8 | 2.7 | 0.87      | 1        |
| 25  | Male   | 0.6  | 0.1 | 183     | 91   | 53   | 5.5 | 2.3 | 0.7       | 2        |
| 38  | Male   | 1.8  | 0.8 | 342     | 168  | 441  | 7.6 | 4.4 | 1.3       | 1        |
| 33  | Male   | 1.6  | 0.5 | 165     | 15   | 23   | 7.3 | 3.5 | 0.92      | 2        |
| 40  | Female | 0.9  | 0.3 | 293     | 232  | 245  | 6.8 | 3.1 | 0.8       | 1        |
| 40  | Female | 0.9  | 0.3 | 293     | 232  | 245  | 6.8 | 3.1 | 0.8       | 1        |
| 51  | Male   | 2.2  | 1   | 610     | 17   | 28   | 7.3 | 2.6 | 0.55      | 1        |
| 51  | Male   | 2.9  | 1.3 | 482     | 22   | 34   | 7   | 2.4 | 0.5       | 1        |
| 62  | Male   | 6.8  | 3   | 542     | 116  | 66   | 6.4 | 3.1 | 0.9       | 1        |
| 40  | Male   | 1.9  | 1   | 231     | 16   | 55   | 4.3 | 1.6 | 0.6       | 1        |
| 63  | Male   | 0.9  | 0.2 | 194     | 52   | 45   | 6   | 3.9 | 1.85      | 2        |
| 34  | Male   | 4.1  | 2   | 289     | 875  | 731  | 5   | 2.7 | 1.1       | 1        |
| 34  | Male   | 4.1  | 2   | 289     | 875  | 731  | 5   | 2.7 | 1.1       | 1        |
| 34  | Male   | 6.2  | 3   | 240     | 1680 | 850  | 7.2 | 4   | 1.2       | 1        |
| 20  | Male   | 1.1  | 0.5 | 128     | 20   | 30   | 3.9 | 1.9 | 0.95      | 2        |
| 84  | Female | 0.7  | 0.2 | 188     | 13   | 21   | 6   | 3.2 | 1.1       | 2        |
| 57  | Male   | 4    | 1.9 | 190     | 45   | 111  | 5.2 | 1.5 | 0.4       | 1        |
| 52  | Male   | 0.9  | 0.2 | 156     | 35   | 44   | 4.9 | 2.9 | 1.4       | 1        |
| 57  | Male   | 1    | 0.3 | 187     | 19   | 23   | 5.2 | 2.9 | 1.2       | 2        |
| 38  | Female | 2.6  | 1.2 | 410     | 59   | 57   | 5.6 | 3   | 0.8       | 2        |
| 38  | Female | 2.6  | 1.2 | 410     | 59   | 57   | 5.6 | 3   | 0.8       | 2        |
| 30  | Male   | 1.3  | 0.4 | 482     | 102  | 80   | 6.9 | 3.3 | 0.9       | 1        |
| 17  | Female | 0.7  | 0.2 | 145     | 18   | 36   | 7.2 | 3.9 | 1.18      | 2        |

|    |        |      |     |      |      |     |     |     |      |   |
|----|--------|------|-----|------|------|-----|-----|-----|------|---|
| 46 | Female | 14.2 | 7.8 | 374  | 38   | 77  | 4.3 | 2   | 0.8  | 1 |
| 48 | Male   | 1.4  | 0.6 | 263  | 38   | 66  | 5.8 | 2.2 | 0.61 | 1 |
| 47 | Male   | 2.7  | 1.3 | 275  | 123  | 73  | 6.2 | 3.3 | 1.1  | 1 |
| 45 | Male   | 2.4  | 1.1 | 168  | 33   | 50  | 5.1 | 2.6 | 1    | 1 |
| 62 | Male   | 0.6  | 0.1 | 160  | 42   | 110 | 4.9 | 2.6 | 1.1  | 2 |
| 42 | Male   | 6.8  | 3.2 | 630  | 25   | 47  | 6.1 | 2.3 | 0.6  | 2 |
| 50 | Male   | 2.6  | 1.2 | 415  | 407  | 576 | 6.4 | 3.2 | 1    | 1 |
| 85 | Female | 1    | 0.3 | 208  | 17   | 15  | 7   | 3.6 | 1    | 2 |
| 35 | Male   | 1.8  | 0.6 | 275  | 48   | 178 | 6.5 | 3.2 | 0.9  | 2 |
| 21 | Male   | 3.9  | 1.8 | 150  | 36   | 27  | 6.8 | 3.9 | 1.34 | 1 |
| 40 | Male   | 1.1  | 0.3 | 230  | 1630 | 960 | 4.9 | 2.8 | 1.3  | 1 |
| 32 | Female | 0.6  | 0.1 | 176  | 39   | 28  | 6   | 3   | 1    | 1 |
| 55 | Male   | 18.4 | 8.8 | 206  | 64   | 178 | 6.2 | 1.8 | 0.4  | 1 |
| 45 | Female | 0.7  | 0.2 | 170  | 21   | 14  | 5.7 | 2.5 | 0.7  | 1 |
| 34 | Female | 0.6  | 0.1 | 161  | 15   | 19  | 6.6 | 3.4 | 1    | 1 |
| 38 | Male   | 3.1  | 1.6 | 253  | 80   | 406 | 6.8 | 3.9 | 1.3  | 1 |
| 38 | Male   | 1.1  | 0.3 | 198  | 86   | 150 | 6.3 | 3.5 | 1.2  | 1 |
| 42 | Male   | 8.9  | 4.5 | 272  | 31   | 61  | 5.8 | 2   | 0.5  | 1 |
| 42 | Male   | 8.9  | 4.5 | 272  | 31   | 61  | 5.8 | 2   | 0.5  | 1 |
| 33 | Male   | 0.8  | 0.2 | 198  | 26   | 23  | 8   | 4   | 1    | 2 |
| 48 | Female | 0.9  | 0.2 | 175  | 24   | 54  | 5.5 | 2.7 | 0.9  | 2 |
| 51 | Male   | 0.8  | 0.2 | 367  | 42   | 18  | 5.2 | 2   | 0.6  | 1 |
| 64 | Male   | 1.1  | 0.5 | 145  | 20   | 24  | 5.5 | 3.2 | 1.39 | 2 |
| 31 | Female | 0.8  | 0.2 | 158  | 21   | 16  | 6   | 3   | 1    | 1 |
| 58 | Male   | 1    | 0.5 | 158  | 37   | 43  | 7.2 | 3.6 | 1    | 1 |
| 58 | Male   | 1    | 0.5 | 158  | 37   | 43  | 7.2 | 3.6 | 1    | 1 |
| 57 | Male   | 0.7  | 0.2 | 208  | 35   | 97  | 5.1 | 2.1 | 0.7  | 1 |
| 57 | Male   | 1.3  | 0.4 | 259  | 40   | 86  | 6.5 | 2.5 | 0.6  | 1 |
| 57 | Male   | 1.4  | 0.7 | 470  | 62   | 88  | 5.6 | 2.5 | 0.8  | 1 |
| 54 | Male   | 2.2  | 1.2 | 195  | 55   | 95  | 6   | 3.7 | 1.6  | 1 |
| 37 | Male   | 1.8  | 0.8 | 215  | 53   | 58  | 6.4 | 3.8 | 1.4  | 1 |
| 66 | Male   | 0.7  | 0.2 | 239  | 27   | 26  | 6.3 | 3.7 | 1.4  | 1 |
| 60 | Male   | 0.8  | 0.2 | 215  | 24   | 17  | 6.3 | 3   | 0.9  | 2 |
| 19 | Female | 0.7  | 0.2 | 186  | 166  | 397 | 5.5 | 3   | 1.2  | 1 |
| 75 | Female | 0.8  | 0.2 | 188  | 20   | 29  | 4.4 | 1.8 | 0.6  | 1 |
| 75 | Female | 0.8  | 0.2 | 205  | 27   | 24  | 4.4 | 2   | 0.8  | 1 |
| 52 | Male   | 0.6  | 0.1 | 171  | 22   | 16  | 6.6 | 3.6 | 1.2  | 1 |
| 68 | Male   | 0.7  | 0.1 | 145  | 20   | 22  | 5.8 | 2.9 | 1    | 1 |
| 29 | Female | 0.7  | 0.1 | 162  | 52   | 41  | 5.2 | 2.5 | 0.9  | 2 |
| 31 | Male   | 0.9  | 0.2 | 518  | 189  | 17  | 5.3 | 2.3 | 0.7  | 1 |
| 68 | Female | 0.6  | 0.1 | 1620 | 95   | 127 | 4.6 | 2.1 | 0.8  | 1 |
| 70 | Male   | 1.4  | 0.6 | 146  | 12   | 24  | 6.2 | 3.8 | 1.58 | 2 |
| 58 | Female | 2.8  | 1.3 | 670  | 48   | 79  | 4.7 | 1.6 | 0.5  | 1 |
| 58 | Female | 2.4  | 1.1 | 915  | 60   | 142 | 4.7 | 1.8 | 0.6  | 1 |

|    |        |      |      |      |      |      |     |     |      |   |
|----|--------|------|------|------|------|------|-----|-----|------|---|
| 29 | Male   | 1    | 0.3  | 75   | 25   | 26   | 5.1 | 2.9 | 1.3  | 1 |
| 49 | Male   | 0.7  | 0.1  | 148  | 14   | 12   | 5.4 | 2.8 | 1    | 2 |
| 33 | Male   | 2    | 1    | 258  | 194  | 152  | 5.4 | 3   | 1.25 | 1 |
| 32 | Male   | 0.6  | 0.1  | 237  | 45   | 31   | 7.5 | 4.3 | 1.34 | 1 |
| 14 | Male   | 1.4  | 0.5  | 269  | 58   | 45   | 6.7 | 3.9 | 1.4  | 1 |
| 13 | Male   | 0.6  | 0.1  | 320  | 28   | 56   | 7.2 | 3.6 | 1    | 2 |
| 58 | Male   | 0.8  | 0.2  | 298  | 33   | 59   | 6.2 | 3.1 | 1    | 1 |
| 18 | Male   | 0.6  | 0.2  | 538  | 33   | 34   | 7.5 | 3.2 | 0.7  | 1 |
| 60 | Male   | 4    | 1.9  | 238  | 119  | 350  | 7.1 | 3.3 | 0.8  | 1 |
| 60 | Male   | 5.7  | 2.8  | 214  | 412  | 850  | 7.3 | 3.2 | 0.78 | 1 |
| 60 | Male   | 6.8  | 3.2  | 308  | 404  | 794  | 6.8 | 3   | 0.7  | 1 |
| 60 | Male   | 8.6  | 4    | 298  | 412  | 850  | 7.4 | 3   | 0.6  | 1 |
| 60 | Male   | 5.8  | 2.7  | 204  | 220  | 400  | 7   | 3   | 0.7  | 1 |
| 60 | Male   | 5.2  | 2.4  | 168  | 126  | 202  | 6.8 | 2.9 | 0.7  | 1 |
| 75 | Male   | 0.9  | 0.2  | 282  | 25   | 23   | 4.4 | 2.2 | 1    | 1 |
| 39 | Male   | 3.8  | 1.5  | 298  | 102  | 630  | 7.1 | 3.3 | 0.8  | 1 |
| 39 | Male   | 6.6  | 3    | 215  | 190  | 950  | 4   | 1.7 | 0.7  | 1 |
| 18 | Male   | 0.6  | 0.1  | 265  | 97   | 161  | 5.9 | 3.1 | 1.1  | 1 |
| 18 | Male   | 0.7  | 0.1  | 312  | 308  | 405  | 6.9 | 3.7 | 1.1  | 1 |
| 27 | Male   | 0.6  | 0.2  | 161  | 27   | 28   | 3.7 | 1.6 | 0.76 | 2 |
| 27 | Male   | 0.7  | 0.2  | 243  | 21   | 23   | 5.3 | 2.3 | 0.7  | 2 |
| 17 | Male   | 0.9  | 0.2  | 224  | 36   | 45   | 6.9 | 4.2 | 1.55 | 1 |
| 55 | Female | 0.8  | 0.2  | 225  | 14   | 23   | 6.1 | 3.3 | 1.2  | 2 |
| 63 | Male   | 0.5  | 0.1  | 170  | 21   | 28   | 5.5 | 2.5 | 0.8  | 1 |
| 36 | Male   | 5.3  | 2.3  | 145  | 32   | 92   | 5.1 | 2.6 | 1    | 2 |
| 36 | Male   | 5.3  | 2.3  | 145  | 32   | 92   | 5.1 | 2.6 | 1    | 2 |
| 36 | Male   | 0.8  | 0.2  | 158  | 29   | 39   | 6   | 2.2 | 0.5  | 2 |
| 36 | Male   | 0.8  | 0.2  | 158  | 29   | 39   | 6   | 2.2 | 0.5  | 2 |
| 36 | Male   | 0.9  | 0.1  | 486  | 25   | 34   | 5.9 | 2.8 | 0.9  | 2 |
| 24 | Female | 0.7  | 0.2  | 188  | 11   | 10   | 5.5 | 2.3 | 0.71 | 2 |
| 48 | Male   | 3.2  | 1.6  | 257  | 33   | 116  | 5.7 | 2.2 | 0.62 | 1 |
| 27 | Male   | 1.2  | 0.4  | 179  | 63   | 39   | 6.1 | 3.3 | 1.1  | 2 |
| 74 | Male   | 0.6  | 0.1  | 272  | 24   | 98   | 5   | 2   | 0.6  | 1 |
| 50 | Male   | 5.8  | 3    | 661  | 181  | 285  | 5.7 | 2.3 | 0.67 | 2 |
| 50 | Male   | 7.3  | 3.6  | 1580 | 88   | 64   | 5.6 | 2.3 | 0.6  | 2 |
| 48 | Male   | 0.7  | 0.1  | 1630 | 74   | 149  | 5.3 | 2   | 0.6  | 1 |
| 32 | Male   | 12.7 | 6.2  | 194  | 2000 | 2946 | 5.7 | 3.3 | 1.3  | 1 |
| 32 | Male   | 15.9 | 7    | 280  | 1350 | 1600 | 5.6 | 2.8 | 1    | 1 |
| 32 | Male   | 18   | 8.2  | 298  | 1250 | 1050 | 5.4 | 2.6 | 0.9  | 1 |
| 32 | Male   | 23   | 11.3 | 300  | 482  | 275  | 7.1 | 3.5 | 0.9  | 1 |
| 32 | Male   | 22.7 | 10.2 | 290  | 322  | 113  | 6.6 | 2.8 | 0.7  | 1 |
| 58 | Male   | 1.7  | 0.8  | 188  | 60   | 84   | 5.9 | 3.5 | 1.4  | 2 |
| 64 | Female | 0.8  | 0.2  | 178  | 17   | 18   | 6.3 | 3.1 | 0.9  | 1 |
| 28 | Male   | 0.6  | 0.1  | 177  | 36   | 29   | 6.9 | 4.1 | 1.4  | 2 |

|    |        |      |      |      |      |      |     |     |      |   |
|----|--------|------|------|------|------|------|-----|-----|------|---|
| 60 | Male   | 1.8  | 0.5  | 201  | 45   | 25   | 3.9 | 1.7 | 0.7  | 2 |
| 48 | Male   | 5.8  | 2.5  | 802  | 133  | 88   | 6   | 2.8 | 0.8  | 1 |
| 64 | Male   | 3    | 1.4  | 248  | 46   | 40   | 6.5 | 3.2 | 0.9  | 1 |
| 58 | Female | 1.7  | 0.8  | 1896 | 61   | 83   | 8   | 3.9 | 0.95 | 1 |
| 45 | Male   | 2.8  | 1.7  | 263  | 57   | 65   | 5.1 | 2.3 | 0.8  | 1 |
| 45 | Male   | 3.2  | 1.4  | 512  | 50   | 58   | 6   | 2.7 | 0.8  | 1 |
| 70 | Female | 0.7  | 0.2  | 237  | 18   | 28   | 5.8 | 2.5 | 0.75 | 2 |
| 18 | Female | 0.8  | 0.2  | 199  | 34   | 31   | 6.5 | 3.5 | 1.16 | 2 |
| 53 | Male   | 0.9  | 0.4  | 238  | 17   | 14   | 6.6 | 2.9 | 0.8  | 1 |
| 18 | Male   | 1.8  | 0.7  | 178  | 35   | 36   | 6.8 | 3.6 | 1.1  | 1 |
| 66 | Male   | 11.3 | 5.6  | 1110 | 1250 | 4929 | 7   | 2.4 | 0.5  | 1 |
| 46 | Female | 4.7  | 2.2  | 310  | 62   | 90   | 6.4 | 2.5 | 0.6  | 1 |
| 18 | Male   | 0.8  | 0.2  | 282  | 72   | 140  | 5.5 | 2.5 | 0.8  | 1 |
| 18 | Male   | 0.8  | 0.2  | 282  | 72   | 140  | 5.5 | 2.5 | 0.8  | 1 |
| 15 | Male   | 0.8  | 0.2  | 380  | 25   | 66   | 6.1 | 3.7 | 1.5  | 1 |
| 60 | Male   | 0.6  | 0.1  | 186  | 20   | 21   | 6.2 | 3.3 | 1.1  | 2 |
| 66 | Female | 4.2  | 2.1  | 159  | 15   | 30   | 7.1 | 2.2 | 0.4  | 1 |
| 30 | Male   | 1.6  | 0.4  | 332  | 84   | 139  | 5.6 | 2.7 | 0.9  | 1 |
| 30 | Male   | 1.6  | 0.4  | 332  | 84   | 139  | 5.6 | 2.7 | 0.9  | 1 |
| 45 | Female | 3.5  | 1.5  | 189  | 63   | 87   | 5.6 | 2.9 | 1    | 1 |
| 65 | Male   | 0.8  | 0.2  | 201  | 18   | 22   | 5.4 | 2.9 | 1.1  | 2 |
| 66 | Female | 2.9  | 1.3  | 168  | 21   | 38   | 5.5 | 1.8 | 0.4  | 1 |
| 65 | Male   | 0.7  | 0.1  | 392  | 20   | 30   | 5.3 | 2.8 | 1.1  | 1 |
| 50 | Male   | 0.9  | 0.2  | 202  | 20   | 26   | 7.2 | 4.5 | 1.66 | 1 |
| 60 | Male   | 0.8  | 0.2  | 286  | 21   | 27   | 7.1 | 4   | 1.2  | 1 |
| 56 | Male   | 1.1  | 0.5  | 180  | 30   | 42   | 6.9 | 3.8 | 1.2  | 2 |
| 50 | Male   | 1.6  | 0.8  | 218  | 18   | 20   | 5.9 | 2.9 | 0.96 | 1 |
| 46 | Female | 0.8  | 0.2  | 182  | 20   | 40   | 6   | 2.9 | 0.9  | 1 |
| 52 | Male   | 0.6  | 0.1  | 178  | 26   | 27   | 6.5 | 3.6 | 1.2  | 2 |
| 34 | Male   | 5.9  | 2.5  | 290  | 45   | 233  | 5.6 | 2.7 | 0.9  | 1 |
| 34 | Male   | 8.7  | 4    | 298  | 58   | 138  | 5.8 | 2.4 | 0.7  | 1 |
| 32 | Male   | 0.9  | 0.3  | 462  | 70   | 82   | 6.2 | 3.1 | 1    | 1 |
| 72 | Male   | 0.7  | 0.1  | 196  | 20   | 35   | 5.8 | 2   | 0.5  | 1 |
| 72 | Male   | 0.7  | 0.1  | 196  | 20   | 35   | 5.8 | 2   | 0.5  | 1 |
| 50 | Male   | 1.2  | 0.4  | 282  | 36   | 32   | 7.2 | 3.9 | 1.1  | 1 |
| 60 | Male   | 11   | 4.9  | 750  | 140  | 350  | 5.5 | 2.1 | 0.6  | 1 |
| 60 | Male   | 11.5 | 5    | 1050 | 99   | 187  | 6.2 | 2.8 | 0.8  | 1 |
| 60 | Male   | 5.8  | 2.7  | 599  | 43   | 66   | 5.4 | 1.8 | 0.5  | 1 |
| 39 | Male   | 1.9  | 0.9  | 180  | 42   | 62   | 7.4 | 4.3 | 1.38 | 1 |
| 39 | Male   | 1.9  | 0.9  | 180  | 42   | 62   | 7.4 | 4.3 | 1.38 | 1 |
| 48 | Male   | 4.5  | 2.3  | 282  | 13   | 74   | 7   | 2.4 | 0.52 | 1 |
| 55 | Male   | 75   | 3.6  | 332  | 40   | 66   | 6.2 | 2.5 | 0.6  | 1 |
| 47 | Female | 3    | 1.5  | 292  | 64   | 67   | 5.6 | 1.8 | 0.47 | 1 |
| 60 | Male   | 22.8 | 12.6 | 962  | 53   | 41   | 6.9 | 3.3 | 0.9  | 1 |

|    |        |      |      |      |     |      |     |     |      |   |
|----|--------|------|------|------|-----|------|-----|-----|------|---|
| 60 | Male   | 8.9  | 4    | 950  | 33  | 32   | 6.8 | 3.1 | 0.8  | 1 |
| 72 | Male   | 1.7  | 0.8  | 200  | 28  | 37   | 6.2 | 3   | 0.93 | 1 |
| 44 | Female | 1.9  | 0.6  | 298  | 378 | 602  | 6.6 | 3.3 | 1    | 1 |
| 55 | Male   | 14.1 | 7.6  | 750  | 35  | 63   | 5   | 1.6 | 0.47 | 1 |
| 31 | Male   | 0.6  | 0.1  | 175  | 48  | 34   | 6   | 3.7 | 1.6  | 1 |
| 31 | Male   | 0.6  | 0.1  | 175  | 48  | 34   | 6   | 3.7 | 1.6  | 1 |
| 31 | Male   | 0.8  | 0.2  | 198  | 43  | 31   | 7.3 | 4   | 1.2  | 1 |
| 55 | Male   | 0.8  | 0.2  | 482  | 112 | 99   | 5.7 | 2.6 | 0.8  | 1 |
| 75 | Male   | 14.8 | 9    | 1020 | 71  | 42   | 5.3 | 2.2 | 0.7  | 1 |
| 75 | Male   | 10.6 | 5    | 562  | 37  | 29   | 5.1 | 1.8 | 0.5  | 1 |
| 75 | Male   | 8    | 4.6  | 386  | 30  | 25   | 5.5 | 1.8 | 0.48 | 1 |
| 75 | Male   | 2.8  | 1.3  | 250  | 23  | 29   | 2.7 | 0.9 | 0.5  | 1 |
| 75 | Male   | 2.9  | 1.3  | 218  | 33  | 37   | 3   | 1.5 | 1    | 1 |
| 65 | Male   | 1.9  | 0.8  | 170  | 36  | 43   | 3.8 | 1.4 | 0.58 | 2 |
| 40 | Male   | 0.6  | 0.1  | 171  | 20  | 17   | 5.4 | 2.5 | 0.8  | 1 |
| 64 | Male   | 1.1  | 0.4  | 201  | 18  | 19   | 6.9 | 4.1 | 1.4  | 1 |
| 38 | Male   | 1.5  | 0.4  | 298  | 60  | 103  | 6   | 3   | 1    | 2 |
| 60 | Male   | 3.2  | 1.8  | 750  | 79  | 145  | 7.8 | 3.2 | 0.69 | 1 |
| 60 | Male   | 2.1  | 1    | 191  | 114 | 247  | 4   | 1.6 | 0.6  | 1 |
| 60 | Male   | 1.9  | 0.8  | 614  | 42  | 38   | 4.5 | 1.8 | 0.6  | 1 |
| 48 | Female | 0.8  | 0.2  | 218  | 32  | 28   | 5.2 | 2.5 | 0.9  | 2 |
| 60 | Male   | 6.3  | 3.2  | 314  | 118 | 114  | 6.6 | 3.7 | 1.27 | 1 |
| 60 | Male   | 5.8  | 3    | 257  | 107 | 104  | 6.6 | 3.5 | 1.12 | 1 |
| 60 | Male   | 2.3  | 0.6  | 272  | 79  | 51   | 6.6 | 3.5 | 1.1  | 1 |
| 49 | Male   | 1.3  | 0.4  | 206  | 30  | 25   | 6   | 3.1 | 1.06 | 2 |
| 49 | Male   | 2    | 0.6  | 209  | 48  | 32   | 5.7 | 3   | 1.1  | 2 |
| 60 | Male   | 2.4  | 1    | 1124 | 30  | 54   | 5.2 | 1.9 | 0.5  | 1 |
| 60 | Male   | 2    | 1.1  | 664  | 52  | 104  | 6   | 2.1 | 0.53 | 1 |
| 26 | Female | 0.6  | 0.2  | 142  | 12  | 32   | 5.7 | 2.4 | 0.75 | 1 |
| 41 | Male   | 0.9  | 0.2  | 169  | 22  | 18   | 6.1 | 3   | 0.9  | 2 |
| 7  | Female | 27.2 | 11.8 | 1420 | 790 | 1050 | 6.1 | 2   | 0.4  | 1 |
| 49 | Male   | 0.6  | 0.1  | 218  | 50  | 53   | 5   | 2.4 | 0.9  | 1 |
| 49 | Male   | 0.6  | 0.1  | 218  | 50  | 53   | 5   | 2.4 | 0.9  | 1 |
| 38 | Female | 0.8  | 0.2  | 145  | 19  | 23   | 6.1 | 3.1 | 1.03 | 2 |
| 21 | Male   | 1    | 0.3  | 142  | 27  | 21   | 6.4 | 3.5 | 1.2  | 2 |
| 21 | Male   | 0.7  | 0.2  | 135  | 27  | 26   | 6.4 | 3.3 | 1    | 2 |
| 45 | Male   | 2.5  | 1.2  | 163  | 28  | 22   | 7.6 | 4   | 1.1  | 1 |
| 40 | Male   | 3.6  | 1.8  | 285  | 50  | 60   | 7   | 2.9 | 0.7  | 1 |
| 40 | Male   | 3.9  | 1.7  | 350  | 950 | 1500 | 6.7 | 3.8 | 1.3  | 1 |
| 70 | Female | 0.9  | 0.3  | 220  | 53  | 95   | 6.1 | 2.8 | 0.68 | 1 |
| 45 | Female | 0.9  | 0.3  | 189  | 23  | 33   | 6.6 | 3.9 |      | 1 |
| 28 | Male   | 0.8  | 0.3  | 190  | 20  | 14   | 4.1 | 2.4 | 1.4  | 1 |
| 42 | Male   | 2.7  | 1.3  | 219  | 60  | 180  | 7   | 3.2 | 0.8  | 1 |
| 22 | Male   | 2.7  | 1    | 160  | 82  | 127  | 5.5 | 3.1 | 1.2  | 2 |

|    |        |     |     |      |     |     |     |     |     |   |
|----|--------|-----|-----|------|-----|-----|-----|-----|-----|---|
| 8  | Female | 0.9 | 0.2 | 401  | 25  | 58  | 7.5 | 3.4 | 0.8 | 1 |
| 38 | Male   | 1.7 | 1   | 180  | 18  | 34  | 7.2 | 3.6 | 1   | 1 |
| 66 | Male   | 0.6 | 0.2 | 100  | 17  | 148 | 5   | 3.3 | 1.9 | 2 |
| 55 | Male   | 0.9 | 0.2 | 116  | 36  | 16  | 6.2 | 3.2 | 1   | 2 |
| 49 | Male   | 1.1 | 0.5 | 159  | 30  | 31  | 7   | 4.3 | 1.5 | 1 |
| 6  | Male   | 0.6 | 0.1 | 289  | 38  | 30  | 4.8 | 2   | 0.7 | 2 |
| 37 | Male   | 0.8 | 0.2 | 125  | 41  | 39  | 6.4 | 3.4 | 1.1 | 1 |
| 37 | Male   | 0.8 | 0.2 | 147  | 27  | 46  | 5   | 2.5 | 1   | 1 |
| 47 | Male   | 0.9 | 0.2 | 192  | 38  | 24  | 7.3 | 4.3 | 1.4 | 1 |
| 47 | Male   | 0.9 | 0.2 | 265  | 40  | 28  | 8   | 4   | 1   | 1 |
| 50 | Male   | 1.1 | 0.3 | 175  | 20  | 19  | 7.1 | 4.5 | 1.7 | 2 |
| 70 | Male   | 1.7 | 0.5 | 400  | 56  | 44  | 5.7 | 3.1 | 1.1 | 1 |
| 26 | Male   | 0.6 | 0.2 | 120  | 45  | 51  | 7.9 | 4   | 1   | 1 |
| 26 | Male   | 1.3 | 0.4 | 173  | 38  | 62  | 8   | 4   | 1   | 1 |
| 68 | Female | 0.7 | 0.2 | 186  | 18  | 15  | 6.4 | 3.8 | 1.4 | 1 |
| 65 | Female | 1   | 0.3 | 202  | 26  | 13  | 5.3 | 2.6 | 0.9 | 2 |
| 46 | Male   | 0.6 | 0.2 | 290  | 26  | 21  | 6   | 3   | 1   | 1 |
| 61 | Male   | 1.5 | 0.6 | 196  | 61  | 85  | 6.7 | 3.8 | 1.3 | 2 |
| 61 | Male   | 0.8 | 0.1 | 282  | 85  | 231 | 8.5 | 4.3 | 1   | 1 |
| 50 | Male   | 2.7 | 1.6 | 157  | 149 | 156 | 7.9 | 3.1 | 0.6 | 1 |
| 33 | Male   | 2   | 1.4 | 2110 | 48  | 89  | 6.2 | 3   | 0.9 | 1 |
| 40 | Female | 0.9 | 0.2 | 285  | 32  | 27  | 7.7 | 3.5 | 0.8 | 1 |
| 60 | Male   | 1.5 | 0.6 | 360  | 230 | 298 | 4.5 | 2   | 0.8 | 1 |
| 22 | Male   | 0.8 | 0.2 | 300  | 57  | 40  | 7.9 | 3.8 | 0.9 | 2 |
| 35 | Female | 0.9 | 0.3 | 158  | 20  | 16  | 8   | 4   | 1   | 1 |
| 35 | Female | 0.9 | 0.2 | 190  | 40  | 35  | 7.3 | 4.7 | 1.8 | 2 |
| 40 | Male   | 0.9 | 0.3 | 196  | 69  | 48  | 6.8 | 3.1 | 0.8 | 1 |
| 48 | Male   | 0.7 | 0.2 | 165  | 32  | 30  | 8   | 4   | 1   | 2 |
| 51 | Male   | 0.8 | 0.2 | 230  | 24  | 46  | 6.5 | 3.1 |     | 1 |
| 29 | Female | 0.8 | 0.2 | 205  | 30  | 23  | 8.2 | 4.1 | 1   | 1 |
| 28 | Female | 0.9 | 0.2 | 316  | 25  | 23  | 8.5 | 5.5 | 1.8 | 1 |
| 54 | Male   | 0.8 | 0.2 | 218  | 20  | 19  | 6.3 | 2.5 | 0.6 | 1 |
| 54 | Male   | 0.9 | 0.2 | 290  | 15  | 18  | 6.1 | 2.8 | 0.8 | 1 |
| 55 | Male   | 1.8 | 9   | 272  | 22  | 79  | 6.1 | 2.7 | 0.7 | 1 |
| 55 | Male   | 0.9 | 0.2 | 190  | 25  | 28  | 5.9 | 2.7 | 0.8 | 1 |
| 40 | Male   | 0.7 | 0.1 | 202  | 37  | 29  | 5   | 2.6 | 1   | 1 |
| 33 | Male   | 1.2 | 0.3 | 498  | 28  | 25  | 7   | 3   | 0.7 | 1 |
| 33 | Male   | 2.1 | 1.3 | 480  | 38  | 22  | 6.5 | 3   | 0.8 | 1 |
| 33 | Male   | 0.9 | 0.8 | 680  | 37  | 40  | 5.9 | 2.6 | 0.8 | 1 |
| 65 | Male   | 1.1 | 0.3 | 258  | 48  | 40  | 7   | 3.9 | 1.2 | 2 |
| 35 | Female | 0.6 | 0.2 | 180  | 12  | 15  | 5.2 | 2.7 |     | 2 |
| 38 | Female | 0.7 | 0.1 | 152  | 90  | 21  | 7.1 | 4.2 | 1.4 | 2 |
| 38 | Male   | 1.7 | 0.7 | 859  | 89  | 48  | 6   | 3   | 1   | 1 |
| 50 | Male   | 0.9 | 0.3 | 901  | 23  | 17  | 6.2 | 3.5 | 1.2 | 1 |

|    |        |      |      |     |     |     |     |     |      |   |
|----|--------|------|------|-----|-----|-----|-----|-----|------|---|
| 44 | Male   | 0.8  | 0.2  | 335 | 148 | 86  | 5.6 | 3   | 1.1  | 1 |
| 36 | Male   | 0.8  | 0.2  | 182 | 31  | 34  | 6.4 | 3.8 | 1.4  | 2 |
| 42 | Male   | 30.5 | 14.2 | 285 | 65  | 130 | 5.2 | 2.1 | 0.6  | 1 |
| 42 | Male   | 16.4 | 8.9  | 245 | 56  | 87  | 5.4 | 2   | 0.5  | 1 |
| 33 | Male   | 1.5  | 7    | 505 | 205 | 140 | 7.5 | 3.9 | 1    | 1 |
| 18 | Male   | 0.8  | 0.2  | 228 | 55  | 54  | 6.9 | 4   | 1.3  | 1 |
| 38 | Female | 0.8  | 0.2  | 185 | 25  | 21  | 7   | 3   | 0.7  | 1 |
| 38 | Male   | 0.8  | 0.2  | 247 | 55  | 92  | 7.4 | 4.3 | 1.38 | 2 |
| 4  | Male   | 0.9  | 0.2  | 348 | 30  | 34  | 8   | 4   | 1    | 2 |
| 62 | Male   | 1.2  | 0.4  | 195 | 38  | 54  | 6.3 | 3.8 | 1.5  | 1 |
| 43 | Female | 0.9  | 0.3  | 140 | 12  | 29  | 7.4 | 3.5 | 1.8  | 1 |
| 40 | Male   | 14.5 | 6.4  | 358 | 50  | 75  | 5.7 | 2.1 | 0.5  | 1 |
| 26 | Male   | 0.6  | 0.1  | 110 | 15  | 20  | 2.8 | 1.6 | 1.3  | 1 |
| 37 | Male   | 0.7  | 0.2  | 235 | 96  | 54  | 9.5 | 4.9 | 1    | 1 |
| 4  | Male   | 0.8  | 0.2  | 460 | 152 | 231 | 6.5 | 3.2 | 0.9  | 2 |
| 21 | Male   | 18.5 | 9.5  | 380 | 390 | 500 | 8.2 | 4.1 | 1    | 1 |
| 30 | Male   | 0.7  | 0.2  | 262 | 15  | 18  | 9.6 | 4.7 | 1.2  | 1 |
| 33 | Male   | 1.8  | 0.8  | 196 | 25  | 22  | 8   | 4   | 1    | 1 |
| 26 | Male   | 1.9  | 0.8  | 180 | 22  | 19  | 8.2 | 4.1 | 1    | 2 |
| 35 | Male   | 0.9  | 0.2  | 190 | 25  | 20  | 6.4 | 3.6 | 1.2  | 2 |
| 60 | Male   | 2    | 0.8  | 190 | 45  | 40  | 6   | 2.8 | 0.8  | 1 |
| 45 | Male   | 2.2  | 0.8  | 209 | 25  | 20  | 8   | 4   | 1    | 1 |
| 48 | Female | 1    | 1.4  | 144 | 18  | 14  | 8.3 | 4.2 | 1    | 1 |
| 58 | Male   | 0.8  | 0.2  | 123 | 56  | 48  | 6   | 3   | 1    | 1 |
| 50 | Male   | 0.7  | 0.2  | 192 | 18  | 15  | 7.4 | 4.2 | 1.3  | 2 |
| 50 | Male   | 0.7  | 0.2  | 188 | 12  | 14  | 7   | 3.4 | 0.9  | 1 |
| 18 | Male   | 1.3  | 0.7  | 316 | 10  | 21  | 6   | 2.1 | 0.5  | 2 |
| 18 | Male   | 0.9  | 0.3  | 300 | 30  | 48  | 8   | 4   | 1    | 1 |
| 13 | Male   | 1.5  | 0.5  | 575 | 29  | 24  | 7.9 | 3.9 | 0.9  | 1 |
| 34 | Female | 0.8  | 0.2  | 192 | 15  | 12  | 8.6 | 4.7 | 1.2  | 1 |
| 43 | Male   | 1.3  | 0.6  | 155 | 15  | 20  | 8   | 4   | 1    | 2 |
| 50 | Female | 1    | 0.5  | 239 | 16  | 39  | 7.5 | 3.7 | 0.9  | 1 |
| 57 | Male   | 4.5  | 2.3  | 315 | 120 | 105 | 7   | 4   | 1.3  | 1 |
| 45 | Female | 1    | 0.3  | 250 | 48  | 44  | 8.6 | 4.3 | 1    | 1 |
| 60 | Male   | 0.7  | 0.2  | 174 | 32  | 14  | 7.8 | 4.2 | 1.1  | 2 |
| 45 | Male   | 0.6  | 0.2  | 245 | 22  | 24  | 7.1 | 3.4 | 0.9  | 1 |
| 23 | Male   | 1.1  | 0.5  | 191 | 37  | 41  | 7.7 | 4.3 | 1.2  | 2 |
| 22 | Male   | 2.4  | 1    | 340 | 25  | 21  | 8.3 | 4.5 | 1.1  | 1 |
| 22 | Male   | 0.6  | 0.2  | 202 | 78  | 41  | 8   | 3.9 | 0.9  | 1 |
| 74 | Female | 0.9  | 0.3  | 234 | 16  | 19  | 7.9 | 4   | 1    | 1 |
| 25 | Female | 0.9  | 0.3  | 159 | 24  | 25  | 6.9 | 4.4 | 1.7  | 2 |
| 31 | Female | 1.1  | 0.3  | 190 | 26  | 15  | 7.9 | 3.8 | 0.9  | 1 |
| 24 | Female | 0.9  | 0.2  | 195 | 40  | 35  | 7.4 | 4.1 | 1.2  | 2 |
| 58 | Male   | 0.8  | 0.2  | 180 | 32  | 25  | 8.2 | 4.4 | 1.1  | 2 |

|    |        |      |      |     |     |     |     |     |     |   |
|----|--------|------|------|-----|-----|-----|-----|-----|-----|---|
| 51 | Female | 0.9  | 0.2  | 280 | 21  | 30  | 6.7 | 3.2 | 0.8 | 1 |
| 50 | Female | 1.7  | 0.6  | 430 | 28  | 32  | 6.8 | 3.5 | 1   | 1 |
| 50 | Male   | 0.7  | 0.2  | 206 | 18  | 17  | 8.4 | 4.2 | 1   | 2 |
| 55 | Female | 0.8  | 0.2  | 155 | 21  | 17  | 6.9 | 3.8 | 1.4 | 1 |
| 54 | Female | 1.4  | 0.7  | 195 | 36  | 16  | 7.9 | 3.7 | 0.9 | 2 |
| 48 | Male   | 1.6  | 1    | 588 | 74  | 113 | 7.3 | 2.4 | 0.4 | 1 |
| 30 | Male   | 0.8  | 0.2  | 174 | 21  | 47  | 4.6 | 2.3 | 1   | 1 |
| 45 | Female | 0.8  | 0.2  | 165 | 22  | 18  | 8.2 | 4.1 | 1   | 1 |
| 48 | Female | 1.1  | 0.7  | 527 | 178 | 250 | 8   | 4.2 | 1.1 | 1 |
| 51 | Male   | 0.8  | 0.2  | 175 | 48  | 22  | 8.1 | 4.6 | 1.3 | 1 |
| 54 | Female | 23.2 | 12.6 | 574 | 43  | 47  | 7.2 | 3.5 | 0.9 | 1 |
| 27 | Male   | 1.3  | 0.6  | 106 | 25  | 54  | 8.5 | 4.8 |     | 2 |
| 30 | Female | 0.8  | 0.2  | 158 | 25  | 22  | 7.9 | 4.5 | 1.3 | 2 |
| 26 | Male   | 2    | 0.9  | 195 | 24  | 65  | 7.8 | 4.3 | 1.2 | 1 |
| 22 | Male   | 0.9  | 0.3  | 179 | 18  | 21  | 6.7 | 3.7 | 1.2 | 2 |
| 44 | Male   | 0.9  | 0.2  | 182 | 29  | 82  | 7.1 | 3.7 | 1   | 2 |
| 35 | Male   | 0.7  | 0.2  | 198 | 42  | 30  | 6.8 | 3.4 | 1   | 1 |
| 38 | Male   | 3.7  | 2.2  | 216 | 179 | 232 | 7.8 | 4.5 | 1.3 | 1 |
| 14 | Male   | 0.9  | 0.3  | 310 | 21  | 16  | 8.1 | 4.2 | 1   | 2 |
| 30 | Female | 0.7  | 0.2  | 63  | 31  | 27  | 5.8 | 3.4 | 1.4 | 1 |
| 30 | Female | 0.8  | 0.2  | 198 | 30  | 58  | 5.2 | 2.8 | 1.1 | 1 |
| 36 | Male   | 1.7  | 0.5  | 205 | 36  | 34  | 7.1 | 3.9 | 1.2 | 1 |
| 12 | Male   | 0.8  | 0.2  | 302 | 47  | 67  | 6.7 | 3.5 | 1.1 | 2 |
| 60 | Male   | 2.6  | 1.2  | 171 | 42  | 37  | 5.4 | 2.7 | 1   | 1 |
| 42 | Male   | 0.8  | 0.2  | 158 | 27  | 23  | 6.7 | 3.1 | 0.8 | 2 |
| 36 | Female | 1.2  | 0.4  | 358 | 160 | 90  | 8.3 | 4.4 | 1.1 | 2 |
| 24 | Male   | 3.3  | 1.6  | 174 | 11  | 33  | 7.6 | 3.9 | 1   | 2 |
| 43 | Male   | 0.8  | 0.2  | 192 | 29  | 20  | 6   | 2.9 | 0.9 | 2 |
| 21 | Male   | 0.7  | 0.2  | 211 | 14  | 23  | 7.3 | 4.1 | 1.2 | 2 |
| 26 | Male   | 2    | 0.9  | 157 | 54  | 68  | 6.1 | 2.7 | 0.8 | 1 |
| 26 | Male   | 1.7  | 0.6  | 210 | 62  | 56  | 5.4 | 2.2 | 0.6 | 1 |
| 26 | Male   | 7.1  | 3.3  | 258 | 80  | 113 | 6.2 | 2.9 | 0.8 | 1 |
| 36 | Female | 0.7  | 0.2  | 152 | 21  | 25  | 5.9 | 3.1 | 1.1 | 2 |
| 13 | Female | 0.7  | 0.2  | 350 | 17  | 24  | 7.4 | 4   | 1.1 | 1 |
| 13 | Female | 0.7  | 0.1  | 182 | 24  | 19  | 8.9 | 4.9 | 1.2 | 1 |
| 75 | Male   | 6.7  | 3.6  | 458 | 198 | 143 | 6.2 | 3.2 | 1   | 1 |
| 75 | Male   | 2.5  | 1.2  | 375 | 85  | 68  | 6.4 | 2.9 | 0.8 | 1 |
| 75 | Male   | 1.8  | 0.8  | 405 | 79  | 50  | 6.1 | 2.9 | 0.9 | 1 |
| 75 | Male   | 1.4  | 0.4  | 215 | 50  | 30  | 5.9 | 2.6 | 0.7 | 1 |
| 75 | Male   | 0.9  | 0.2  | 206 | 44  | 33  | 6.2 | 2.9 | 0.8 | 1 |
| 36 | Female | 0.8  | 0.2  | 650 | 70  | 138 | 6.6 | 3.1 | 0.8 | 1 |
| 35 | Male   | 0.8  | 0.2  | 198 | 36  | 32  | 7   | 4   | 1.3 | 2 |
| 70 | Male   | 3.1  | 1.6  | 198 | 40  | 28  | 5.6 | 2   | 0.5 | 1 |
| 37 | Male   | 0.8  | 0.2  | 195 | 60  | 40  | 8.2 | 5   | 1.5 | 2 |

|    |        |      |      |     |     |     |     |     |     |   |
|----|--------|------|------|-----|-----|-----|-----|-----|-----|---|
| 60 | Male   | 2.9  | 1.3  | 230 | 32  | 44  | 5.6 | 2   | 0.5 | 1 |
| 46 | Male   | 0.6  | 0.2  | 115 | 14  | 11  | 6.9 | 3.4 | 0.9 | 1 |
| 38 | Male   | 0.7  | 0.2  | 216 | 349 | 105 | 7   | 3.5 | 1   | 1 |
| 70 | Male   | 1.3  | 0.4  | 358 | 19  | 14  | 6.1 | 2.8 | 0.8 | 1 |
| 49 | Female | 0.8  | 0.2  | 158 | 19  | 15  | 6.6 | 3.6 | 1.2 | 2 |
| 37 | Male   | 1.8  | 0.8  | 145 | 62  | 58  | 5.7 | 2.9 | 1   | 1 |
| 37 | Male   | 1.3  | 0.4  | 195 | 41  | 38  | 5.3 | 2.1 | 0.6 | 1 |
| 26 | Female | 0.7  | 0.2  | 144 | 36  | 33  | 8.2 | 4.3 | 1.1 | 1 |
| 48 | Female | 1.4  | 0.8  | 621 | 110 | 176 | 7.2 | 3.9 | 1.1 | 1 |
| 48 | Female | 0.8  | 0.2  | 150 | 25  | 23  | 7.5 | 3.9 | 1   | 1 |
| 19 | Male   | 1.4  | 0.8  | 178 | 13  | 26  | 8   | 4.6 | 1.3 | 2 |
| 33 | Male   | 0.7  | 0.2  | 256 | 21  | 30  | 8.5 | 3.9 | 0.8 | 1 |
| 33 | Male   | 2.1  | 0.7  | 205 | 50  | 38  | 6.8 | 3   | 0.7 | 1 |
| 37 | Male   | 0.7  | 0.2  | 176 | 28  | 34  | 5.6 | 2.6 | 0.8 | 1 |
| 69 | Female | 0.8  | 0.2  | 146 | 42  | 70  | 8.4 | 4.9 | 1.4 | 2 |
| 24 | Male   | 0.7  | 0.2  | 218 | 47  | 26  | 6.6 | 3.3 | 1   | 1 |
| 65 | Female | 0.7  | 0.2  | 182 | 23  | 28  | 6.8 | 2.9 | 0.7 | 2 |
| 55 | Male   | 1.1  | 0.3  | 215 | 21  | 15  | 6.2 | 2.9 | 0.8 | 2 |
| 42 | Female | 0.9  | 0.2  | 165 | 26  | 29  | 8.5 | 4.4 | 1   | 2 |
| 21 | Male   | 0.8  | 0.2  | 183 | 33  | 57  | 6.8 | 3.5 | 1   | 2 |
| 40 | Male   | 0.7  | 0.2  | 176 | 28  | 43  | 5.3 | 2.4 | 0.8 | 2 |
| 16 | Male   | 0.7  | 0.2  | 418 | 28  | 35  | 7.2 | 4.1 | 1.3 | 2 |
| 60 | Male   | 2.2  | 1    | 271 | 45  | 52  | 6.1 | 2.9 | 0.9 | 2 |
| 42 | Female | 0.8  | 0.2  | 182 | 22  | 20  | 7.2 | 3.9 | 1.1 | 1 |
| 58 | Female | 0.8  | 0.2  | 130 | 24  | 25  | 7   | 4   | 1.3 | 1 |
| 54 | Female | 22.6 | 11.4 | 558 | 30  | 37  | 7.8 | 3.4 | 0.8 | 1 |
| 33 | Male   | 0.8  | 0.2  | 135 | 30  | 29  | 7.2 | 4.4 | 1.5 | 2 |
| 48 | Male   | 0.7  | 0.2  | 326 | 29  | 17  | 8.7 | 5.5 | 1.7 | 1 |
| 25 | Female | 0.7  | 0.1  | 140 | 32  | 25  | 7.6 | 4.3 | 1.3 | 2 |
| 56 | Female | 0.7  | 0.1  | 145 | 26  | 23  | 7   | 4   | 1.3 | 2 |
| 47 | Male   | 3.5  | 1.6  | 206 | 32  | 31  | 6.8 | 3.4 | 1   | 1 |
| 33 | Male   | 0.7  | 0.1  | 168 | 35  | 33  | 7   | 3.7 | 1.1 | 1 |
| 20 | Female | 0.6  | 0.2  | 202 | 12  | 13  | 6.1 | 3   | 0.9 | 2 |
| 50 | Female | 0.7  | 0.1  | 192 | 20  | 41  | 7.3 | 3.3 | 0.8 | 1 |
| 72 | Male   | 0.7  | 0.2  | 185 | 16  | 22  | 7.3 | 3.7 | 1   | 2 |
| 50 | Male   | 1.7  | 0.8  | 331 | 36  | 53  | 7.3 | 3.4 | 0.9 | 1 |
| 39 | Male   | 0.6  | 0.2  | 188 | 28  | 43  | 8.1 | 3.3 | 0.6 | 1 |
| 58 | Female | 0.7  | 0.1  | 172 | 27  | 22  | 6.7 | 3.2 | 0.9 | 1 |
| 60 | Female | 1.4  | 0.7  | 159 | 10  | 12  | 4.9 | 2.5 | 1   | 2 |
| 34 | Male   | 3.7  | 2.1  | 490 | 115 | 91  | 6.5 | 2.8 | 0.7 | 1 |
| 50 | Male   | 0.8  | 0.2  | 152 | 29  | 30  | 7.4 | 4.1 | 1.3 | 1 |
| 38 | Male   | 2.7  | 1.4  | 105 | 25  | 21  | 7.5 | 4.2 | 1.2 | 2 |
| 51 | Male   | 0.8  | 0.2  | 160 | 34  | 20  | 6.9 | 3.7 | 1.1 | 1 |
| 46 | Male   | 0.8  | 0.2  | 160 | 31  | 40  | 7.3 | 3.8 | 1.1 | 1 |

|    |        |      |     |      |     |     |     |     |      |   |
|----|--------|------|-----|------|-----|-----|-----|-----|------|---|
| 72 | Male   | 0.6  | 0.1 | 102  | 31  | 35  | 6.3 | 3.2 | 1    | 1 |
| 72 | Male   | 0.8  | 0.2 | 148  | 23  | 35  | 6   | 3   | 1    | 1 |
| 75 | Male   | 0.9  | 0.2 | 162  | 25  | 20  | 6.9 | 3.7 | 1.1  | 1 |
| 41 | Male   | 7.5  | 4.3 | 149  | 94  | 92  | 6.3 | 3.1 | 0.9  | 1 |
| 41 | Male   | 2.7  | 1.3 | 580  | 142 | 68  | 8   | 4   | 1    | 1 |
| 48 | Female | 1    | 0.3 | 310  | 37  | 56  | 5.9 | 2.5 | 0.7  | 1 |
| 45 | Male   | 0.8  | 0.2 | 140  | 24  | 20  | 6.3 | 3.2 | 1    | 2 |
| 74 | Male   | 1    | 0.3 | 175  | 30  | 32  | 6.4 | 3.4 | 1.1  | 1 |
| 78 | Male   | 1    | 0.3 | 152  | 28  | 70  | 6.3 | 3.1 | 0.9  | 1 |
| 38 | Male   | 0.8  | 0.2 | 208  | 25  | 50  | 7.1 | 3.7 | 1    | 1 |
| 27 | Male   | 1    | 0.2 | 205  | 137 | 145 | 6   | 3   | 1    | 1 |
| 66 | Female | 0.7  | 0.2 | 162  | 24  | 20  | 6.4 | 3.2 | 1    | 2 |
| 50 | Male   | 7.3  | 3.7 | 92   | 44  | 236 | 6.8 | 1.6 | 0.3  | 1 |
| 42 | Female | 0.5  | 0.1 | 162  | 155 | 108 | 8.1 | 4   | 0.9  | 1 |
| 65 | Male   | 0.7  | 0.2 | 199  | 19  | 22  | 6.3 | 3.6 | 1.3  | 2 |
| 22 | Male   | 0.8  | 0.2 | 198  | 20  | 26  | 6.8 | 3.9 | 1.3  | 1 |
| 31 | Female | 0.8  | 0.2 | 215  | 15  | 21  | 7.6 | 4   | 1.1  | 1 |
| 45 | Male   | 0.7  | 0.2 | 180  | 18  | 58  | 6.7 | 3.7 | 1.2  | 2 |
| 12 | Male   | 1    | 0.2 | 719  | 157 | 108 | 7.2 | 3.7 | 1    | 1 |
| 48 | Male   | 2.4  | 1.1 | 554  | 141 | 73  | 7.5 | 3.6 | 0.9  | 1 |
| 48 | Male   | 5    | 2.6 | 555  | 284 | 190 | 6.5 | 3.3 | 1    | 1 |
| 18 | Male   | 1.4  | 0.6 | 215  | 440 | 850 | 5   | 1.9 | 0.6  | 1 |
| 23 | Female | 2.3  | 0.8 | 509  | 28  | 44  | 6.9 | 2.9 | 0.7  | 2 |
| 65 | Male   | 4.9  | 2.7 | 190  | 33  | 71  | 7.1 | 2.9 | 0.7  | 1 |
| 48 | Male   | 0.7  | 0.2 | 208  | 15  | 30  | 4.6 | 2.1 | 0.8  | 2 |
| 65 | Male   | 1.4  | 0.6 | 260  | 28  | 24  | 5.2 | 2.2 | 0.7  | 2 |
| 70 | Male   | 1.3  | 0.3 | 690  | 93  | 40  | 3.6 | 2.7 | 0.7  | 1 |
| 70 | Male   | 0.6  | 0.1 | 862  | 76  | 180 | 6.3 | 2.7 | 0.75 | 1 |
| 11 | Male   | 0.7  | 0.1 | 592  | 26  | 29  | 7.1 | 4.2 | 1.4  | 2 |
| 50 | Male   | 4.2  | 2.3 | 450  | 69  | 50  | 7   | 3   | 0.7  | 1 |
| 55 | Female | 8.2  | 3.9 | 1350 | 52  | 65  | 6.7 | 2.9 | 0.7  | 1 |
| 55 | Female | 10.9 | 5.1 | 1350 | 48  | 57  | 6.4 | 2.3 | 0.5  | 1 |
| 26 | Male   | 1    | 0.3 | 163  | 48  | 71  | 7.1 | 3.7 | 1    | 2 |
| 41 | Male   | 1.2  | 0.5 | 246  | 34  | 42  | 6.9 | 3.4 | 0.97 | 1 |
| 53 | Male   | 1.6  | 0.9 | 178  | 44  | 59  | 6.5 | 3.9 | 1.5  | 2 |
| 32 | Female | 0.7  | 0.1 | 240  | 12  | 15  | 7   | 3   | 0.7  | 1 |
| 58 | Male   | 0.4  | 0.1 | 100  | 59  | 126 | 4.3 | 2.5 | 1.4  | 1 |
| 45 | Male   | 1.3  | 0.6 | 166  | 49  | 42  | 5.6 | 2.5 | 0.8  | 2 |
| 65 | Male   | 0.9  | 0.2 | 170  | 33  | 66  | 7   | 3   | 0.75 | 1 |
| 52 | Female | 0.6  | 0.1 | 194  | 10  | 12  | 6.9 | 3.3 | 0.9  | 2 |
| 73 | Male   | 1.9  | 0.7 | 1750 | 102 | 141 | 5.5 | 2   | 0.5  | 1 |
| 53 | Female | 0.7  | 0.1 | 182  | 20  | 33  | 4.8 | 1.9 | 0.6  | 1 |
| 47 | Female | 0.8  | 0.2 | 236  | 10  | 13  | 6.7 | 2.9 | 0.76 | 2 |
| 29 | Male   | 0.7  | 0.2 | 165  | 55  | 87  | 7.5 | 4.6 | 1.58 | 1 |

|    |        |      |      |      |     |     |     |     |      |   |
|----|--------|------|------|------|-----|-----|-----|-----|------|---|
| 41 | Female | 0.9  | 0.2  | 201  | 31  | 24  | 7.6 | 3.8 | 1    | 2 |
| 30 | Female | 0.7  | 0.2  | 194  | 32  | 36  | 7.5 | 3.6 | 0.92 | 2 |
| 17 | Female | 0.5  | 0.1  | 206  | 28  | 21  | 7.1 | 4.5 | 1.7  | 2 |
| 23 | Male   | 1    | 0.3  | 212  | 41  | 80  | 6.2 | 3.1 | 1    | 1 |
| 35 | Male   | 1.6  | 0.7  | 157  | 15  | 44  | 5.2 | 2.5 | 0.9  | 1 |
| 65 | Male   | 0.8  | 0.2  | 162  | 30  | 90  | 3.8 | 1.4 | 0.5  | 1 |
| 42 | Female | 0.8  | 0.2  | 168  | 25  | 18  | 6.2 | 3.1 | 1    | 1 |
| 49 | Female | 0.8  | 0.2  | 198  | 23  | 20  | 7   | 4.3 | 1.5  | 1 |
| 42 | Female | 2.3  | 1.1  | 292  | 29  | 39  | 4.1 | 1.8 | 0.7  | 1 |
| 42 | Female | 7.4  | 3.6  | 298  | 52  | 102 | 4.6 | 1.9 | 0.7  | 1 |
| 42 | Female | 0.7  | 0.2  | 152  | 35  | 81  | 6.2 | 3.2 | 1.06 | 1 |
| 61 | Male   | 0.8  | 0.2  | 163  | 18  | 19  | 6.3 | 2.8 | 0.8  | 2 |
| 17 | Male   | 0.9  | 0.2  | 279  | 40  | 46  | 7.3 | 4   | 1.2  | 2 |
| 54 | Male   | 0.8  | 0.2  | 181  | 35  | 20  | 5.5 | 2.7 | 0.96 | 1 |
| 45 | Female | 23.3 | 12.8 | 1550 | 425 | 511 | 7.7 | 3.5 | 0.8  | 1 |
| 48 | Female | 0.8  | 0.2  | 142  | 26  | 25  | 6   | 2.6 | 0.7  | 1 |
| 48 | Female | 0.9  | 0.2  | 173  | 26  | 27  | 6.2 | 3.1 | 1    | 1 |
| 65 | Male   | 7.9  | 4.3  | 282  | 50  | 72  | 6   | 3   | 1    | 1 |
| 35 | Male   | 0.8  | 0.2  | 279  | 20  | 25  | 7.2 | 3.2 | 0.8  | 1 |
| 58 | Male   | 0.9  | 0.2  | 1100 | 25  | 36  | 7.1 | 3.5 | 0.9  | 1 |
| 46 | Male   | 0.7  | 0.2  | 224  | 40  | 23  | 7.1 | 3   | 0.7  | 1 |
| 28 | Male   | 0.6  | 0.2  | 159  | 15  | 16  | 7   | 3.5 | 1    | 2 |
| 21 | Female | 0.6  | 0.1  | 186  | 25  | 22  | 6.8 | 3.4 | 1    | 1 |
| 32 | Male   | 0.7  | 0.2  | 189  | 22  | 43  | 7.4 | 3.1 | 0.7  | 2 |
| 61 | Male   | 0.8  | 0.2  | 192  | 28  | 35  | 6.9 | 3.4 | 0.9  | 2 |
| 26 | Male   | 6.8  | 3.2  | 140  | 37  | 19  | 3.6 | 0.9 | 0.3  | 1 |
| 65 | Male   | 1.1  | 0.5  | 686  | 16  | 46  | 5.7 | 1.5 | 0.35 | 1 |
| 22 | Female | 2.2  | 1    | 215  | 159 | 51  | 5.5 | 2.5 | 0.8  | 1 |
| 28 | Female | 0.8  | 0.2  | 309  | 55  | 23  | 6.8 | 4.1 | 1.51 | 1 |
| 38 | Male   | 0.7  | 0.2  | 110  | 22  | 18  | 6.4 | 2.5 | 0.64 | 1 |
| 25 | Male   | 0.8  | 0.1  | 130  | 23  | 42  | 8   | 4   | 1    | 1 |
| 45 | Female | 0.7  | 0.2  | 164  | 21  | 53  | 4.5 | 1.4 | 0.45 | 2 |
| 45 | Female | 0.6  | 0.1  | 270  | 23  | 42  | 5.1 | 2   | 0.5  | 2 |
| 28 | Female | 0.6  | 0.1  | 137  | 22  | 16  | 4.9 | 1.9 | 0.6  | 2 |
| 28 | Female | 1    | 0.3  | 90   | 18  | 108 | 6.8 | 3.1 | 0.8  | 2 |
| 66 | Male   | 1    | 0.3  | 190  | 30  | 54  | 5.3 | 2.1 | 0.6  | 1 |
| 66 | Male   | 0.8  | 0.2  | 165  | 22  | 32  | 4.4 | 2   | 0.8  | 1 |
| 66 | Male   | 1.1  | 0.5  | 167  | 13  | 56  | 7.1 | 4.1 | 1.36 | 1 |
| 49 | Female | 0.6  | 0.1  | 185  | 17  | 26  | 6.6 | 2.9 | 0.7  | 2 |
| 42 | Male   | 0.7  | 0.2  | 197  | 64  | 33  | 5.8 | 2.4 | 0.7  | 2 |
| 42 | Male   | 1    | 0.3  | 154  | 38  | 21  | 6.8 | 3.9 | 1.3  | 2 |
| 35 | Male   | 2    | 1.1  | 226  | 33  | 135 | 6   | 2.7 | 0.8  | 2 |
| 38 | Male   | 2.2  | 1    | 310  | 119 | 42  | 7.9 | 4.1 | 1    | 2 |
| 38 | Male   | 0.9  | 0.3  | 310  | 15  | 25  | 5.5 | 2.7 | 1    | 1 |

|    |        |      |      |     |     |     |     |     |      |   |
|----|--------|------|------|-----|-----|-----|-----|-----|------|---|
| 55 | Male   | 0.6  | 0.2  | 220 | 24  | 32  | 5.1 | 2.4 | 0.88 | 1 |
| 33 | Male   | 7.1  | 3.7  | 196 | 622 | 497 | 6.9 | 3.6 | 1.09 | 1 |
| 33 | Male   | 3.4  | 1.6  | 186 | 779 | 844 | 7.3 | 3.2 | 0.7  | 1 |
| 7  | Male   | 0.5  | 0.1  | 352 | 28  | 51  | 7.9 | 4.2 | 1.1  | 2 |
| 45 | Male   | 2.3  | 1.3  | 282 | 132 | 368 | 7.3 | 4   | 1.2  | 1 |
| 45 | Male   | 1.1  | 0.4  | 92  | 91  | 188 | 7.2 | 3.8 | 1.11 | 1 |
| 30 | Male   | 0.8  | 0.2  | 182 | 46  | 57  | 7.8 | 4.3 | 1.2  | 2 |
| 62 | Male   | 5    | 2.1  | 103 | 18  | 40  | 5   | 2.1 | 1.72 | 1 |
| 22 | Female | 6.7  | 3.2  | 850 | 154 | 248 | 6.2 | 2.8 | 0.8  | 1 |
| 42 | Female | 0.8  | 0.2  | 195 | 18  | 15  | 6.7 | 3   | 0.8  | 1 |
| 32 | Male   | 0.7  | 0.2  | 276 | 102 | 190 | 6   | 2.9 | 0.93 | 1 |
| 60 | Male   | 0.7  | 0.2  | 171 | 31  | 26  | 7   | 3.5 | 1    | 2 |
| 65 | Male   | 0.8  | 0.1  | 146 | 17  | 29  | 5.9 | 3.2 | 1.18 | 2 |
| 53 | Female | 0.8  | 0.2  | 193 | 96  | 57  | 6.7 | 3.6 | 1.16 | 1 |
| 27 | Male   | 1    | 0.3  | 180 | 56  | 111 | 6.8 | 3.9 | 1.85 | 2 |
| 35 | Female | 1    | 0.3  | 805 | 133 | 103 | 7.9 | 3.3 | 0.7  | 1 |
| 65 | Male   | 0.7  | 0.2  | 265 | 30  | 28  | 5.2 | 1.8 | 0.52 | 2 |
| 25 | Male   | 0.7  | 0.2  | 185 | 196 | 401 | 6.5 | 3.9 | 1.5  | 1 |
| 32 | Male   | 0.7  | 0.2  | 165 | 31  | 29  | 6.1 | 3   | 0.96 | 2 |
| 24 | Male   | 1    | 0.2  | 189 | 52  | 31  | 8   | 4.8 | 1.5  | 1 |
| 67 | Male   | 2.2  | 1.1  | 198 | 42  | 39  | 7.2 | 3   | 0.7  | 1 |
| 68 | Male   | 1.8  | 0.5  | 151 | 18  | 22  | 6.5 | 4   | 1.6  | 1 |
| 55 | Male   | 3.6  | 1.6  | 349 | 40  | 70  | 7.2 | 2.9 | 0.6  | 1 |
| 70 | Male   | 2.7  | 1.2  | 365 | 62  | 55  | 6   | 2.4 | 0.6  | 1 |
| 36 | Male   | 2.8  | 1.5  | 305 | 28  | 76  | 5.9 | 2.5 | 0.7  | 1 |
| 42 | Male   | 0.8  | 0.2  | 127 | 29  | 30  | 4.9 | 2.7 | 1.2  | 1 |
| 53 | Male   | 19.8 | 10.4 | 238 | 39  | 221 | 8.1 | 2.5 | 0.4  | 1 |
| 32 | Male   | 30.5 | 17.1 | 218 | 39  | 79  | 5.5 | 2.7 | 0.9  | 1 |
| 32 | Male   | 32.6 | 14.1 | 219 | 95  | 235 | 5.8 | 3.1 | 1.1  | 1 |
| 56 | Male   | 17.7 | 8.8  | 239 | 43  | 185 | 5.6 | 2.4 | 0.7  | 1 |
| 50 | Male   | 0.9  | 0.3  | 194 | 190 | 73  | 7.5 | 3.9 | 1    | 1 |
| 46 | Male   | 18.4 | 8.5  | 450 | 119 | 230 | 7.5 | 3.3 | 0.7  | 1 |
| 46 | Male   | 20   | 10   | 254 | 140 | 540 | 5.4 | 3   | 1.2  | 1 |
| 37 | Female | 0.8  | 0.2  | 205 | 31  | 36  | 9.2 | 4.6 | 1    | 2 |
| 45 | Male   | 2.2  | 1.6  | 320 | 37  | 48  | 6.8 | 3.4 | 1    | 1 |
| 56 | Male   | 1    | 0.3  | 195 | 22  | 28  | 5.8 | 2.6 | 0.8  | 2 |
| 69 | Male   | 0.9  | 0.2  | 215 | 32  | 24  | 6.9 | 3   | 0.7  | 1 |
| 49 | Male   | 1    | 0.3  | 230 | 48  | 58  | 8.4 | 4.2 | 1    | 1 |
| 49 | Male   | 3.9  | 2.1  | 189 | 65  | 181 | 6.9 | 3   | 0.7  | 1 |
| 60 | Male   | 0.9  | 0.3  | 168 | 16  | 24  | 6.7 | 3   | 0.8  | 1 |
| 28 | Male   | 0.9  | 0.2  | 215 | 50  | 28  | 8   | 4   | 1    | 1 |
| 45 | Male   | 2.9  | 1.4  | 210 | 74  | 68  | 7.2 | 3.6 | 1    | 1 |
| 35 | Male   | 26.3 | 12.1 | 108 | 168 | 630 | 9.2 | 2   | 0.3  | 1 |
| 62 | Male   | 1.8  | 0.9  | 224 | 69  | 155 | 8.6 | 4   | 0.8  | 1 |

|    |        |      |      |     |     |     |     |     |     |   |
|----|--------|------|------|-----|-----|-----|-----|-----|-----|---|
| 55 | Male   | 4.4  | 2.9  | 230 | 14  | 25  | 7.1 | 2.1 | 0.4 | 1 |
| 46 | Female | 0.8  | 0.2  | 185 | 24  | 15  | 7.9 | 3.7 | 0.8 | 1 |
| 50 | Male   | 0.6  | 0.2  | 137 | 15  | 16  | 4.8 | 2.6 | 1.1 | 1 |
| 29 | Male   | 0.8  | 0.2  | 156 | 12  | 15  | 6.8 | 3.7 | 1.1 | 2 |
| 53 | Female | 0.9  | 0.2  | 210 | 35  | 32  | 8   | 3.9 | 0.9 | 2 |
| 46 | Male   | 9.4  | 5.2  | 268 | 21  | 63  | 6.4 | 2.8 | 0.8 | 1 |
| 40 | Male   | 3.5  | 1.6  | 298 | 68  | 200 | 7.1 | 3.4 | 0.9 | 1 |
| 45 | Male   | 1.7  | 0.8  | 315 | 12  | 38  | 6.3 | 2.1 | 0.5 | 1 |
| 55 | Male   | 3.3  | 1.5  | 214 | 54  | 152 | 5.1 | 1.8 | 0.5 | 1 |
| 22 | Female | 1.1  | 0.3  | 138 | 14  | 21  | 7   | 3.8 | 1.1 | 2 |
| 40 | Male   | 30.8 | 18.3 | 285 | 110 | 186 | 7.9 | 2.7 | 0.5 | 1 |
| 62 | Male   | 0.7  | 0.2  | 162 | 12  | 17  | 8.2 | 3.2 | 0.6 | 2 |
| 46 | Female | 1.4  | 0.4  | 298 | 509 | 623 | 3.6 | 1   | 0.3 | 1 |
| 39 | Male   | 1.6  | 0.8  | 230 | 88  | 74  | 8   | 4   | 1   | 2 |
| 60 | Male   | 19.6 | 9.5  | 466 | 46  | 52  | 6.1 | 2   | 0.4 | 1 |
| 46 | Male   | 15.8 | 7.2  | 227 | 67  | 220 | 6.9 | 2.6 | 0.6 | 1 |
| 10 | Female | 0.8  | 0.1  | 395 | 25  | 75  | 7.6 | 3.6 | 0.9 | 1 |
| 52 | Male   | 1.8  | 0.8  | 97  | 85  | 78  | 6.4 | 2.7 | 0.7 | 1 |
| 65 | Female | 0.7  | 0.2  | 406 | 24  | 45  | 7.2 | 3.5 | 0.9 | 2 |
| 42 | Male   | 0.8  | 0.2  | 114 | 21  | 23  | 7   | 3   | 0.7 | 2 |
| 42 | Male   | 0.8  | 0.2  | 198 | 29  | 19  | 6.6 | 3   | 0.8 | 2 |
| 62 | Male   | 0.7  | 0.2  | 173 | 46  | 47  | 7.3 | 4.1 | 1.2 | 2 |
| 40 | Male   | 1.2  | 0.6  | 204 | 23  | 27  | 7.6 | 4   | 1.1 | 1 |
| 54 | Female | 5.5  | 3.2  | 350 | 67  | 42  | 7   | 3.2 | 0.8 | 1 |
| 45 | Female | 0.7  | 0.2  | 153 | 41  | 42  | 4.5 | 2.2 | 0.9 | 2 |
| 45 | Male   | 20.2 | 11.7 | 188 | 47  | 32  | 5.4 | 2.3 | 0.7 | 1 |
| 50 | Female | 27.7 | 10.8 | 380 | 39  | 348 | 7.1 | 2.3 | 0.4 | 1 |
| 42 | Male   | 11.1 | 6.1  | 214 | 60  | 186 | 6.9 | 2.8 | 2.8 | 1 |
| 40 | Female | 2.1  | 1    | 768 | 74  | 141 | 7.8 | 4.9 | 1.6 | 1 |
| 46 | Male   | 3.3  | 1.5  | 172 | 25  | 41  | 5.6 | 2.4 | 0.7 | 1 |
| 29 | Male   | 1.2  | 0.4  | 160 | 20  | 22  | 6.2 | 3   | 0.9 | 2 |
| 45 | Male   | 0.6  | 0.1  | 196 | 29  | 30  | 5.8 | 2.9 | 1   | 1 |
| 46 | Male   | 10.2 | 4.2  | 232 | 58  | 140 | 7   | 2.7 | 0.6 | 1 |
| 73 | Male   | 1.8  | 0.9  | 220 | 20  | 43  | 6.5 | 3   | 0.8 | 1 |
| 55 | Male   | 0.8  | 0.2  | 290 | 139 | 87  | 7   | 3   | 0.7 | 1 |
| 51 | Male   | 0.7  | 0.1  | 180 | 25  | 27  | 6.1 | 3.1 | 1   | 1 |
| 51 | Male   | 2.9  | 1.2  | 189 | 80  | 125 | 6.2 | 3.1 | 1   | 1 |
| 51 | Male   | 4    | 2.5  | 275 | 382 | 330 | 7.5 | 4   | 1.1 | 1 |
| 26 | Male   | 42.8 | 19.7 | 390 | 75  | 138 | 7.5 | 2.6 | 0.5 | 1 |
| 66 | Male   | 15.2 | 7.7  | 356 | 321 | 562 | 6.5 | 2.2 | 0.4 | 1 |
| 66 | Male   | 16.6 | 7.6  | 315 | 233 | 384 | 6.9 | 2   | 0.4 | 1 |
| 66 | Male   | 17.3 | 8.5  | 388 | 173 | 367 | 7.8 | 2.6 | 0.5 | 1 |
| 64 | Male   | 1.4  | 0.5  | 298 | 31  | 83  | 7.2 | 2.6 | 0.5 | 1 |
| 38 | Female | 0.6  | 0.1  | 165 | 22  | 34  | 5.9 | 2.9 | 0.9 | 2 |

|    |        |      |      |     |     |     |     |     |      |   |
|----|--------|------|------|-----|-----|-----|-----|-----|------|---|
| 43 | Male   | 22.5 | 11.8 | 143 | 22  | 143 | 6.6 | 2.1 | 0.46 | 1 |
| 50 | Female | 1    | 0.3  | 191 | 22  | 31  | 7.8 | 4   | 1    | 2 |
| 52 | Male   | 2.7  | 1.4  | 251 | 20  | 40  | 6   | 1.7 | 0.39 | 1 |
| 20 | Female | 16.7 | 8.4  | 200 | 91  | 101 | 6.9 | 3.5 | 1.02 | 1 |
| 16 | Male   | 7.7  | 4.1  | 268 | 213 | 168 | 7.1 | 4   | 1.2  | 1 |
| 16 | Male   | 2.6  | 1.2  | 236 | 131 | 90  | 5.4 | 2.6 | 0.9  | 1 |
| 90 | Male   | 1.1  | 0.3  | 215 | 46  | 134 | 6.9 | 3   | 0.7  | 1 |
| 32 | Male   | 15.6 | 9.5  | 134 | 54  | 125 | 5.6 | 4   | 2.5  | 1 |
| 32 | Male   | 3.7  | 1.6  | 612 | 50  | 88  | 6.2 | 1.9 | 0.4  | 1 |
| 32 | Male   | 12.1 | 6    | 515 | 48  | 92  | 6.6 | 2.4 | 0.5  | 1 |
| 32 | Male   | 25   | 13.7 | 560 | 41  | 88  | 7.9 | 2.5 | 2.5  | 1 |
| 32 | Male   | 15   | 8.2  | 289 | 58  | 80  | 5.3 | 2.2 | 0.7  | 1 |
| 32 | Male   | 12.7 | 8.4  | 190 | 28  | 47  | 5.4 | 2.6 | 0.9  | 1 |
| 60 | Male   | 0.5  | 0.1  | 500 | 20  | 34  | 5.9 | 1.6 | 0.37 | 2 |
| 40 | Male   | 0.6  | 0.1  | 98  | 35  | 31  | 6   | 3.2 | 1.1  | 1 |
| 52 | Male   | 0.8  | 0.2  | 245 | 48  | 49  | 6.4 | 3.2 | 1    | 1 |
| 31 | Male   | 1.3  | 0.5  | 184 | 29  | 32  | 6.8 | 3.4 | 1    | 1 |
| 38 | Male   | 1    | 0.3  | 216 | 21  | 24  | 7.3 | 4.4 | 1.5  | 2 |